



Cours

FONCTIONS ELECTRONIQUES

email : nasser_baghdad @ yahoo.fr

FONCTIONS ELECTRONIQUES

Sommaire

Chapitre I : Les amplificateurs

Chapitre II : Les filtres

Chapitre III : Les comparateurs

Chapitre IV : Les oscillateurs

Chapitre V : La PLL

Chapitre VI : Les convertisseurs : CNA et CAN

FONCTIONS ELECTRONIQUES

Chapitre. IV

Les oscillateurs

Chapitre IV : Les oscillateurs

- I. Généralités sur les oscillateurs sinusoïdaux
- II. Les oscillateurs sinusoïdaux à réaction BF
- III. Les oscillateurs sinusoïdaux à réaction HF
- IV. Les oscillateurs sinusoïdaux à résistance négative BF et HF
- V. Les multivibrateurs
- VI. Le Timer 555 (minuteur)
- VII. Les générateurs de signaux non sinusoïdaux

Chapitre IV : Les oscillateurs

I. Généralités sur les oscillateurs sinusoïdaux

Chapitre IV : Les oscillateurs

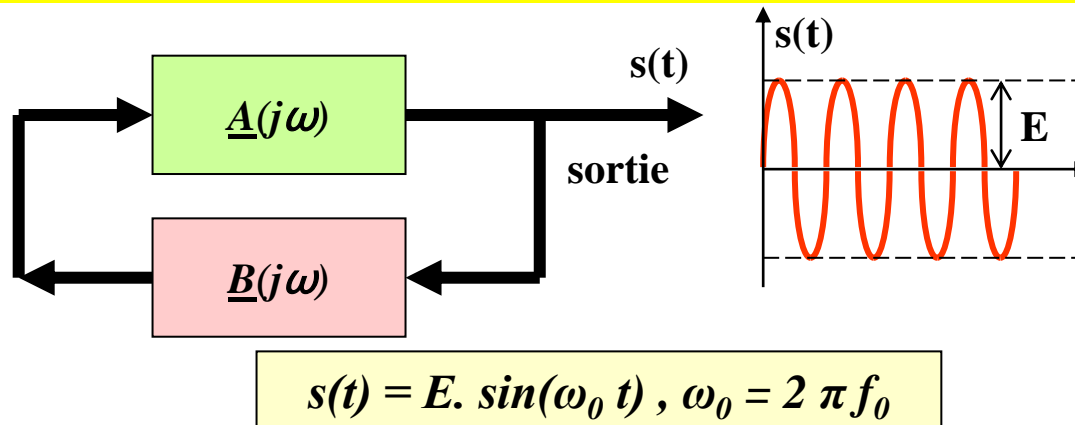
1°) Fonctionnement d'un oscillateur sinusoïdal

2°) Condition d'oscillation

3°) Démarrage et stabilisation de l'oscillation

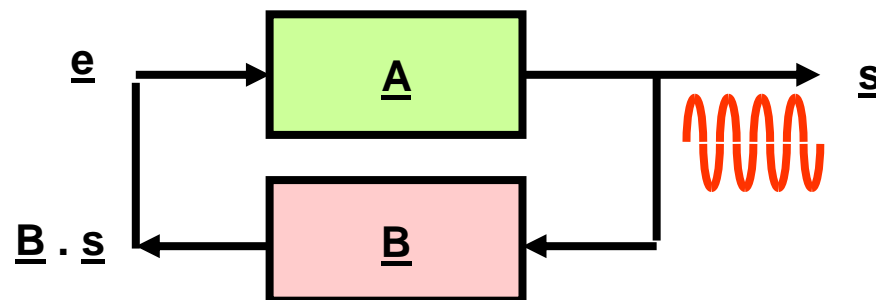
Chapitre IV : Les oscillateurs

1°) Fonctionnement d'un oscillateur sinusoïdal



A est un circuit actif : amplificateur (milieu de gain)

B est un circuit passif : filtre (milieu de perte)



$\underline{A} \cdot \underline{B} = 1$ est la condition d'oscillation

$$\underline{s} = \underline{A} \cdot \underline{e}$$

$$\underline{s} = \underline{A} \cdot \underline{B} \cdot \underline{s}$$

$$\underline{A} \cdot \underline{B} = 1$$

Chapitre IV : Les oscillateurs

Discussion

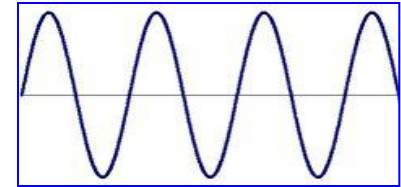
► Trois cas qui se présentent en général :

■ Le gain du circuit d'action compense les pertes du circuit de réaction → oscillation. Cette condition ne peut être satisfaite que pour une seule f_0 .

1^{er} cas : si $\underline{A} \cdot \underline{B} \cdot \underline{s} = \underline{s}$ alors $\underline{A} \cdot \underline{B} = 1$

La compensation des pertes est exacte.

Oscillation
sinusoïdale

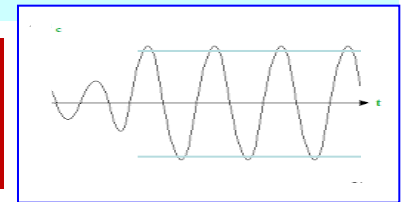


■ Un gain plus élevé entraînerait l'oscillation vers une saturation

2^{ème} cas : si $\underline{A} \cdot \underline{B} \cdot \underline{s} > \underline{s}$ alors $\underline{A} \cdot \underline{B} > 1$

La compensation des pertes est plus que suffisante.

Oscillation qui
tend vers la
saturation

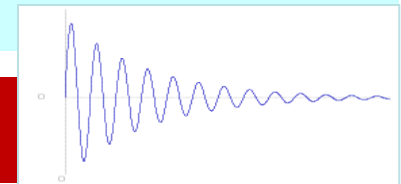


■ Un gain plus faible provoquerait l'arrêt des oscillations.

3^{ème} cas : si $\underline{A} \cdot \underline{B} \cdot \underline{s} < \underline{s}$ alors $\underline{A} \cdot \underline{B} < 1$

La compensation des pertes est insuffisante.

Oscillation qui
s'amortie



Chapitre IV : Les oscillateurs

2°) Condition d'oscillation

- Pour qu'un système bouclé oscille, il faut qu'il existe une fréquence f_0 ou une pulsation ω_0 pour laquelle le gain de boucle soit égal à 1:

$$\underline{T}(j \omega_0) = \underline{A}(j \omega_0) \cdot \underline{B}(j \omega_0) = 1$$

C'est la condition d'entretien des oscillations
ou
Condition de Barkhausen

- Cette condition se traduit en pratique par deux conditions :

- sur la phase

$$\phi_A + \phi_B = 0$$

La condition de phase permet le calcul de la fréquence d'oscillation

- sur le module

$$A \cdot B = 1$$

La condition de module assure l'entretien et la stabilisation de l'oscillation

Attention : ce n'est pas une condition d'amplitude

Chapitre IV : Les oscillateurs

3°) Démarrage et stabilisation de l'oscillation

Condition de démarrage : $A \cdot B > 1$

A la mise sous tension l'oscillation se sature.

Contrôle manuel du gain : stabilisation fragile

Passage de : $A \cdot B > 1$ à $A \cdot B = 1$

Après réglage du gain, on obtient une sinusoïde dont la stabilité est fragile.

Moyen de contrôle manuel : Résistance

Thermistance :

CTP Résistance à coefficient de température positif

Si $T \uparrow$ alors $R \uparrow$

CTN Résistance à coefficient de température négatif

Si $T \uparrow$ alors $R \downarrow$

Potentiomètre : Résistance variable

R variable

$R \downarrow$ ou $R \uparrow$

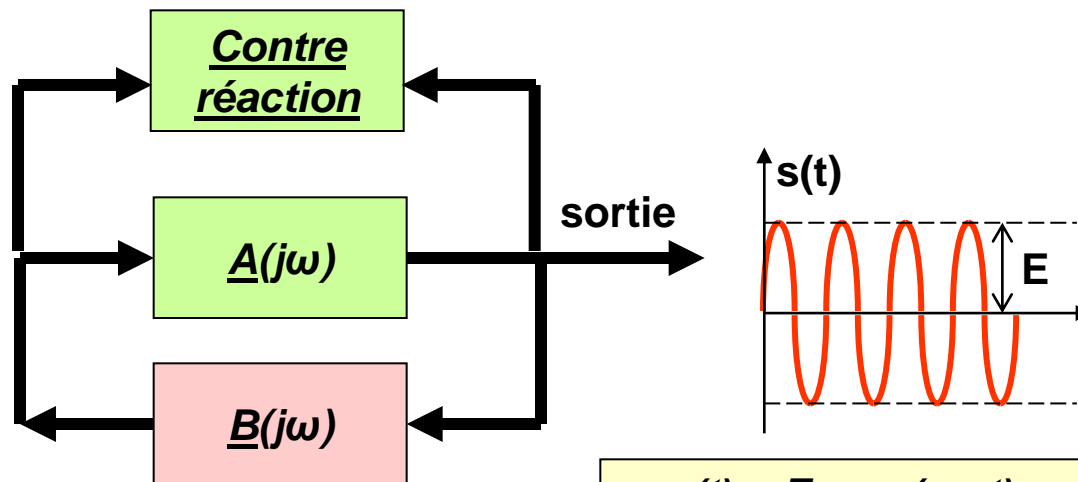
Chapitre IV : Les oscillateurs

Contrôle automatique du gain : stabilisation

Passage de : $A \cdot B > 1$ à $A \cdot B = 1$

A la mise sous tension, si le montage est bien conçu, on obtient une jolie sinusoïde.
Il n'y a aucun réglage à faire, le signal sinusoïdal est propre et stable du premier coup.

Moyen de contrôle automatique : contre réaction



$$s(t) = E \cdot \cos(\omega_0 t), \quad \omega_0 = 2 \pi f_0$$

Satisfaction directe de : $A \cdot B = 1$

Chapitre IV : Les oscillateurs

II. Oscillateurs à réaction BF

Chapitre IV : Les oscillateurs

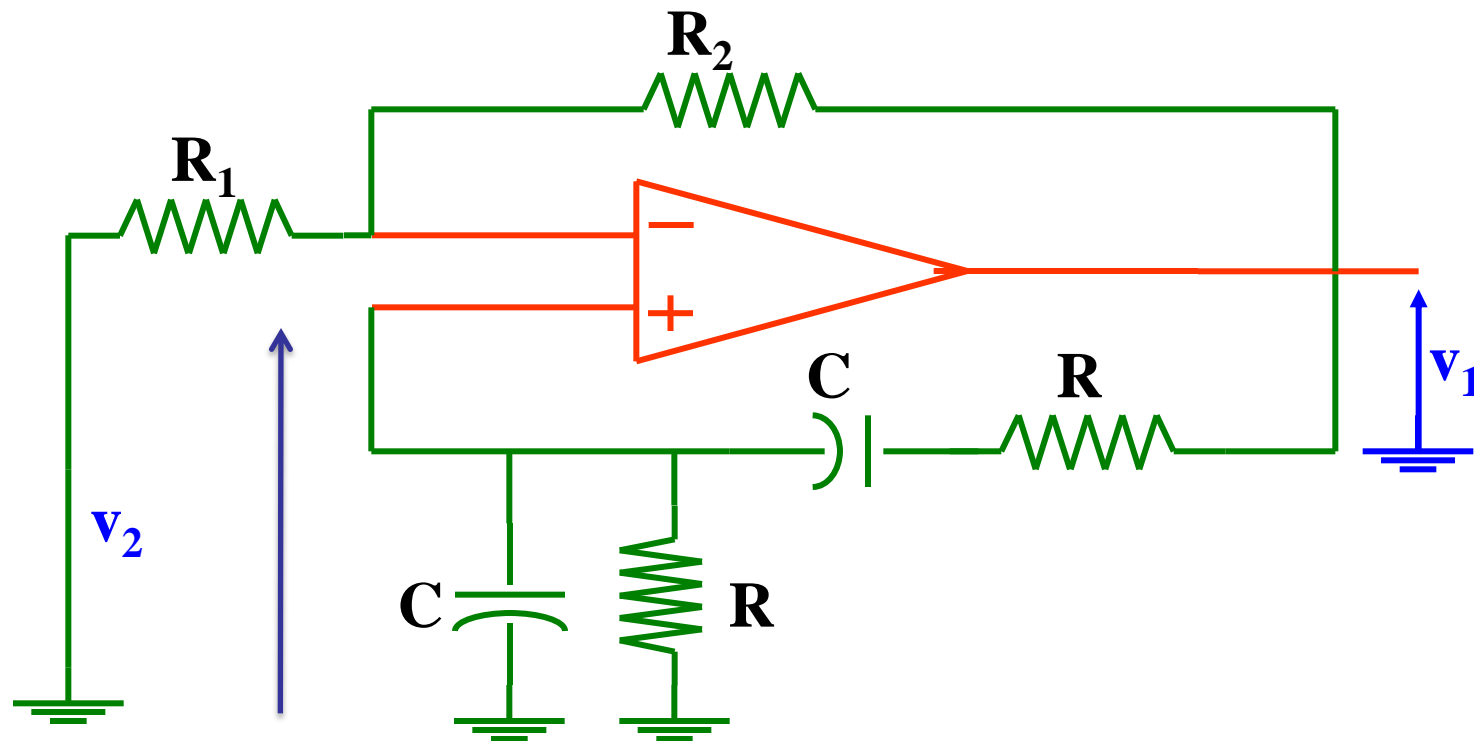
1°) Oscillateur à pont de Wien

2°) Oscillateur à réseau déphaseur

Chapitre IV : Les oscillateurs

1°) Oscillateur à pont de Wien

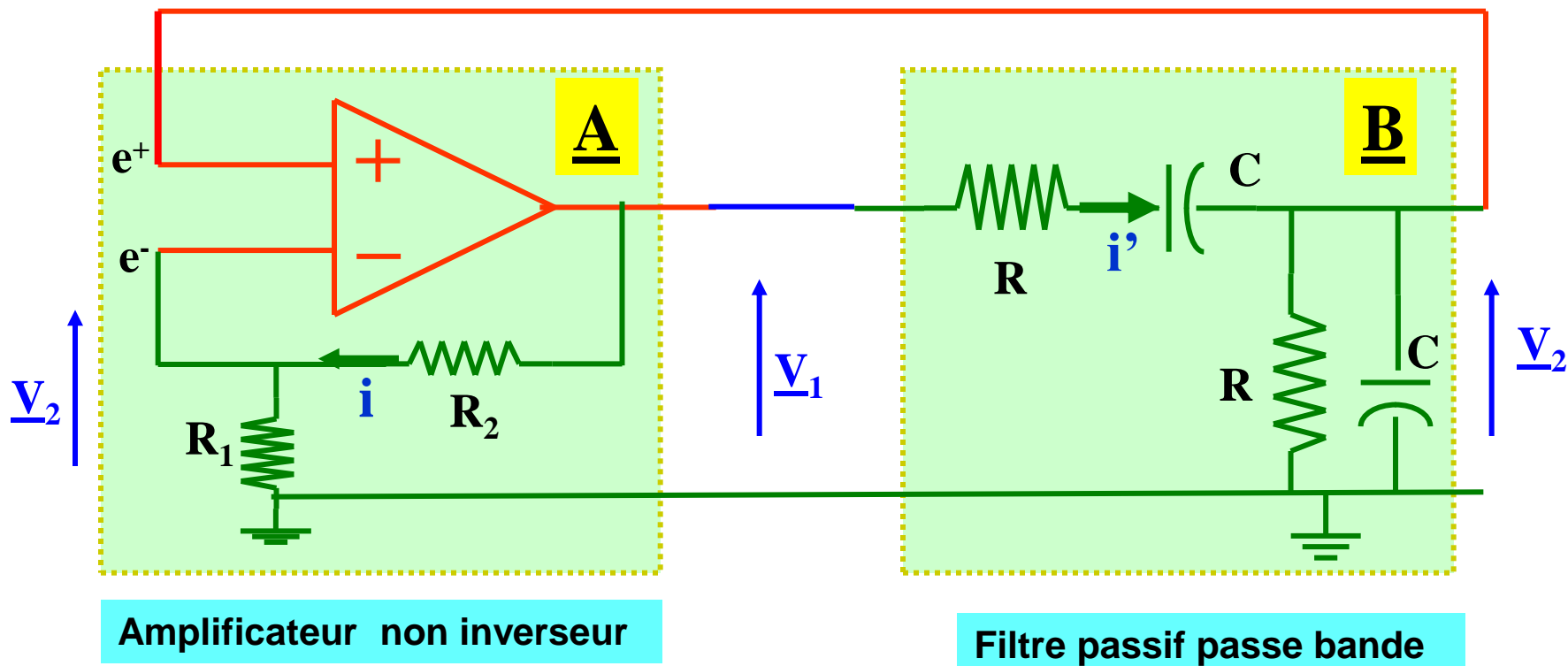
Montage oscillateur



$$f_0 = \frac{1}{2\pi RC}$$

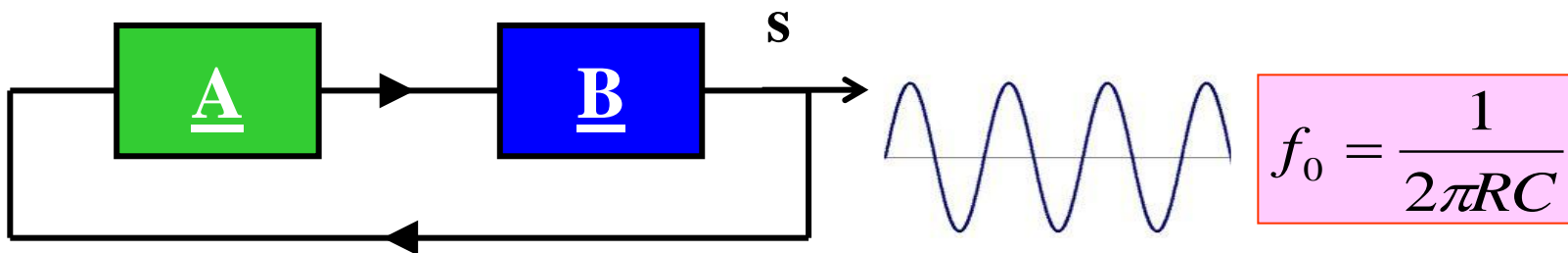
Chapitre IV : Les oscillateurs

Mise en évidence de la boucle de réaction



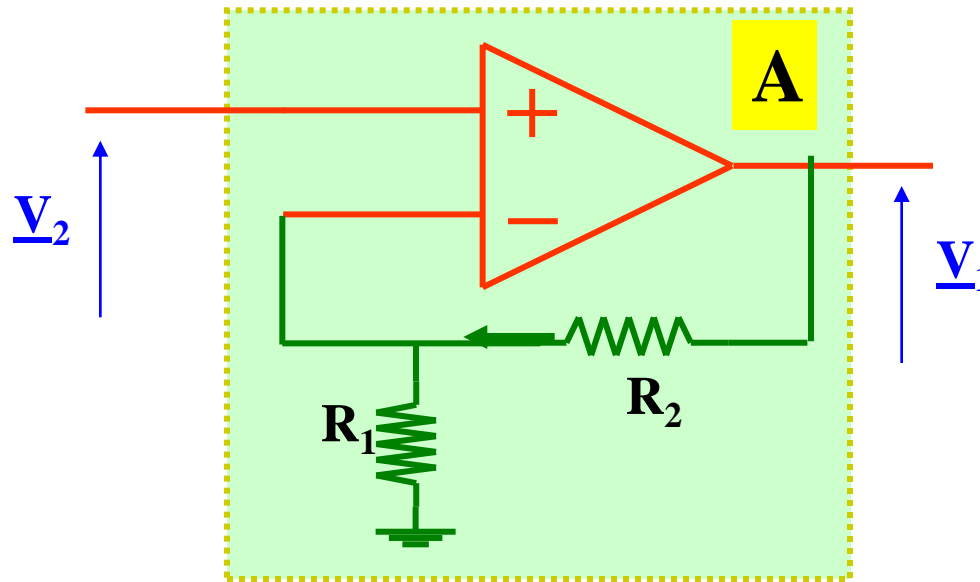
Amplificateur non inverseur

Filtre passif passe bande



Chapitre IV : Les oscillateurs

Calcul de \underline{A} de l'amplificateur

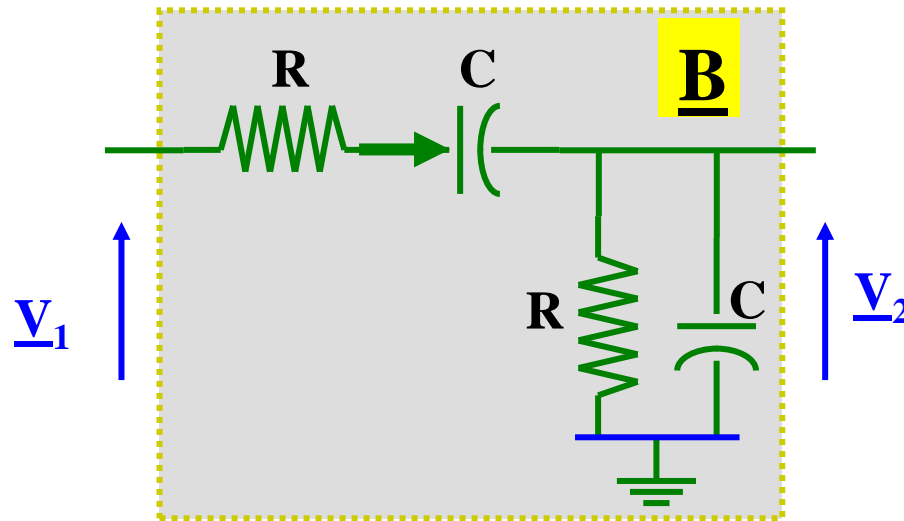


$$\underline{A} = \frac{v_1}{v_2} = A = 1 + \frac{R_2}{R_1} = G \cdot e^{j\varphi}$$

$$G = 1 + \frac{R_2}{R_1} \quad \text{et} \quad \varphi_A = 0 \quad \forall \text{ fréquence}$$

Chapitre IV : Les oscillateurs

Calcul de \underline{B} du filtre



$$\underline{v}_2 = \underline{v}_1 \frac{1}{1 + \underline{y}_2 \cdot \underline{z}_1} = \underline{v}_1 \frac{1}{1 + \left(\frac{1}{R} + jC\omega \right) \left(R + \frac{1}{jC\omega} \right)}$$

$$\underline{H} = \frac{\underline{v}_2}{\underline{v}_1} = \frac{\frac{1}{3}}{1 + j \left(\frac{RC\omega}{3} - \frac{1}{3RC\omega} \right)} = \frac{H_0}{1 + jQ \left(\frac{\omega}{\omega_0} - \frac{\omega_0}{\omega} \right)} = G' e^{j\varphi'}$$

$$G' = \frac{\frac{1}{3}}{\sqrt{1 + \left(\frac{RC\omega}{3} - \frac{1}{3RC\omega} \right)^2}} = \frac{H_0}{\sqrt{1 + Q^2 \cdot \left(\frac{\omega}{\omega_0} - \frac{\omega_0}{\omega} \right)^2}}$$

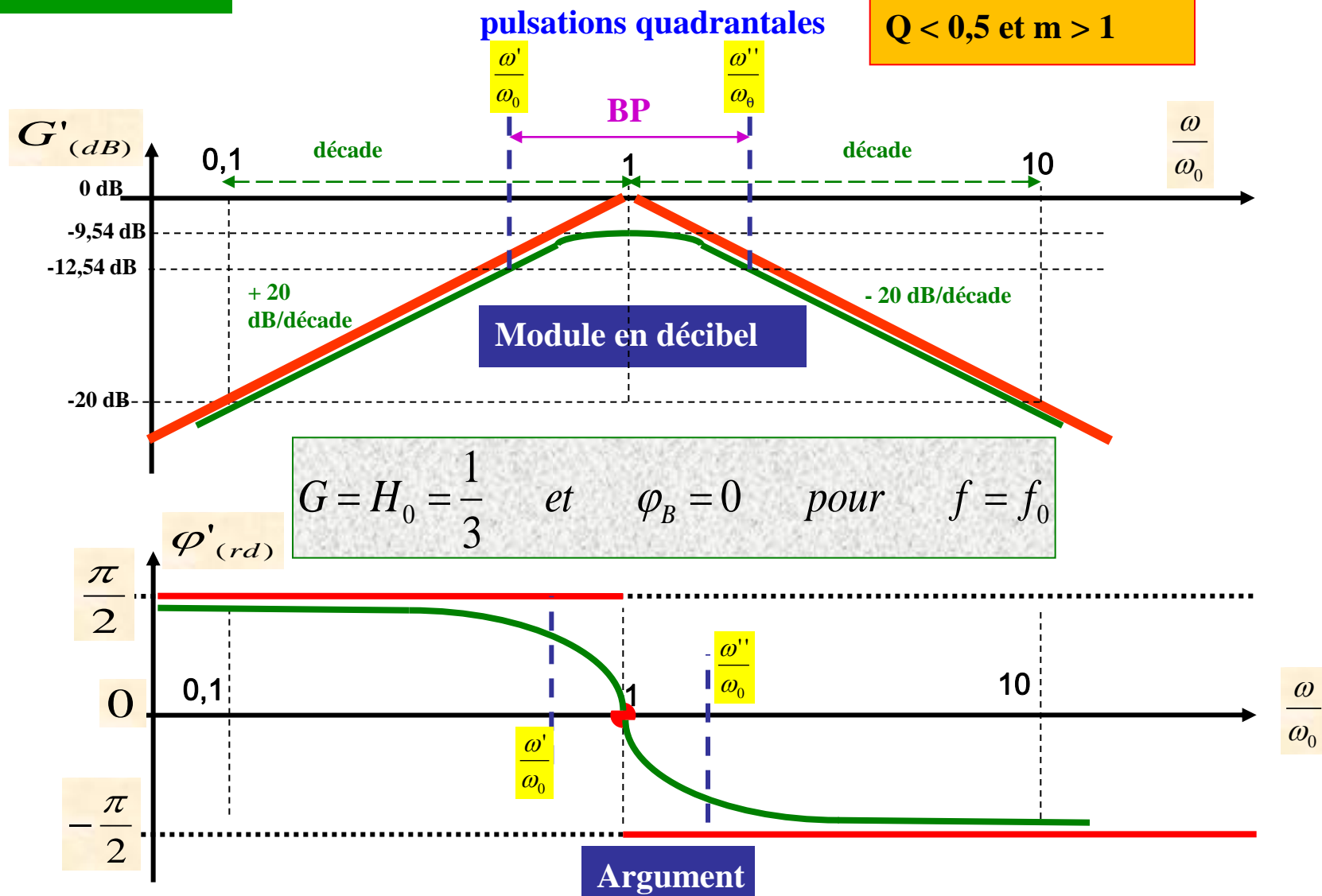
$$\varphi' = -\arctg \left(\frac{RC\omega}{3} - \frac{1}{3RC\omega} \right) = -\arctg \left(Q \cdot \left(\frac{\omega}{\omega_0} - \frac{\omega_0}{\omega} \right) \right)$$

$$H_0 = \frac{1}{3} \quad \underbrace{Q = \frac{1}{3} < 0,5}_{\text{pas de r  sonance}} \quad \underbrace{m = \frac{3}{2} > 1}_{\text{pas de r  sonance}} \quad \omega_0 = \frac{1}{RC} \quad f_0 = \frac{1}{2\pi RC}$$

Chapitre IV : Les oscillateurs

Tracé de BODE

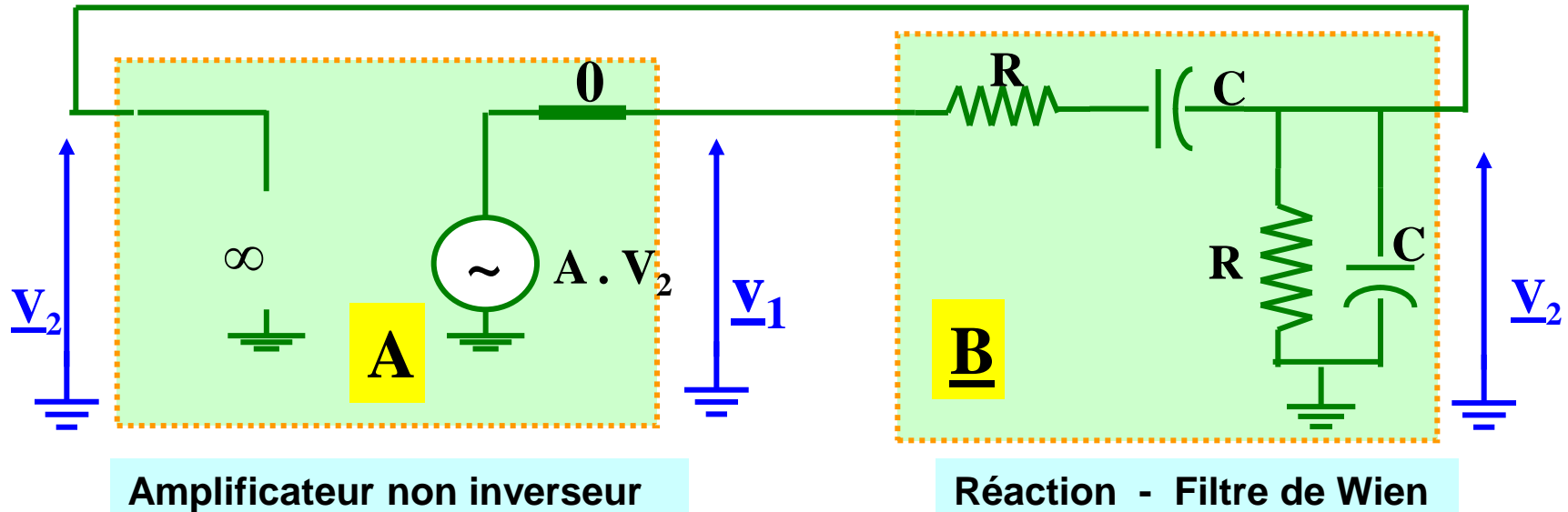
Pas de résonance
 $Q < 0,5$ et $m > 1$



Chapitre IV : Les oscillateurs

Mise en évidence de l'effet de couplage entre l'amplificateur et le filtre

Prise en compte des conditions de connexion et mise en évidence de l'effet de Z_E et Z_S sur la chaîne de réaction



Amplificateur non inverseur

$$\underline{A} = \frac{v_1}{v_2} = 1 + \frac{R_2}{R_1} = A$$

Réaction - Filtre de Wien

$$\underline{B} = \frac{v_2}{v_1} = \frac{\frac{1}{3}}{1 + j \left(\frac{R C \omega}{3} - \frac{1}{3 R C \omega} \right)}$$

Chapitre IV : Les oscillateurs

Transmittance de la boucle : $\underline{T} = \underline{A} \cdot \underline{B}$

$$\underline{T} = \frac{\underline{v}_1}{\underline{v}_1} \quad \text{car} \quad c'est \text{ une boucle}$$

$$\underline{T} = \frac{\underline{v}_1}{\underline{v}_1} = \frac{\underline{v}_1}{\underline{v}_2} \cdot \frac{\underline{v}_2}{\underline{v}_1} = \left(1 + \frac{R_2}{R_1}\right) \cdot \frac{1}{3 + j \left(R C \omega - \frac{1}{R C \omega} \right)} = \underline{A} \cdot \underline{B}$$

$$\underline{T} = \frac{\underline{v}_2}{\underline{v}_2} \quad \text{car} \quad c'est \text{ une boucle}$$

$$\underline{T} = \frac{\underline{v}_2}{\underline{v}_2} = \frac{\underline{v}_2}{\underline{v}_1} \cdot \frac{\underline{v}_1}{\underline{v}_2} = \frac{1}{3 + j \left(R C \omega - \frac{1}{R C \omega} \right)} \cdot \left(1 + \frac{R_2}{R_1}\right) = \underline{B} \cdot \underline{A}$$

$$\underline{T} = \underline{A} \cdot \underline{B} = \underline{B} \cdot \underline{A}$$

Chapitre IV : Les oscillateurs

Critère de Barkhausen ou critère d'entretien

$$\underline{T} = 1 \quad \Leftrightarrow \quad \underline{A} \cdot \underline{B} = 1$$

Condition sur la phase :

$$\varphi_{\underline{T}}(f_0) = 0 \quad \Leftrightarrow \quad \varphi_A(f_0) + \varphi_B(f_0) = 0$$

$$\varphi_{\underline{T}}(\omega_0) = 0 \quad \text{si} \quad \text{partie imaginaire de } \underline{T} \text{ est nulle} \quad \Rightarrow \quad R C \omega_0 - \frac{1}{R C \omega_0} = 0$$
$$\text{Soit : } f_0 = \frac{1}{2 \pi R C} \quad \text{alors :} \quad \underline{T} = T = A \cdot B = \left(1 + \frac{R_2}{R_1}\right) \cdot \frac{1}{3} \quad \left\{ \begin{array}{l} A = 1 + \frac{R_2}{R_1} = cte \quad \forall f \\ B(f_0) = \frac{1}{3} \end{array} \right.$$

Condition sur le module :

$$|\underline{T}| = T(f_0) = 1 \quad \Leftrightarrow \quad A(f_0) \cdot B(f_0) = 1$$

$$|\underline{T}| = T(f_0) = 1 \quad \Leftrightarrow \quad \left(1 + \frac{R_2}{R_1}\right) \cdot \frac{1}{3} = 1 \quad \Rightarrow \quad A = 3 \quad \text{et} \quad 1 + \frac{R_2}{R_1} = 3$$

Chapitre IV : Les oscillateurs

$$1 + \frac{R_2}{R_1} = 3 \quad c - \grave{a} - d \quad \frac{R_2}{R_1} = 2$$

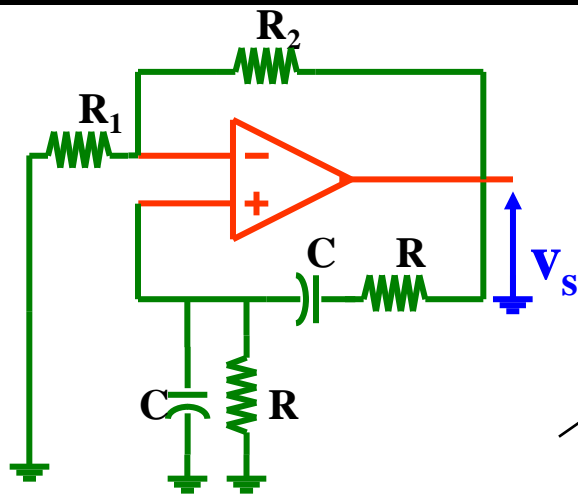
Condition de démarrage des oscillations :

$$Il \text{ faut que : } \Rightarrow A_{\min} = 3 \quad et \quad \left(\frac{R_2}{R_1} \right)_{\min} = 2$$

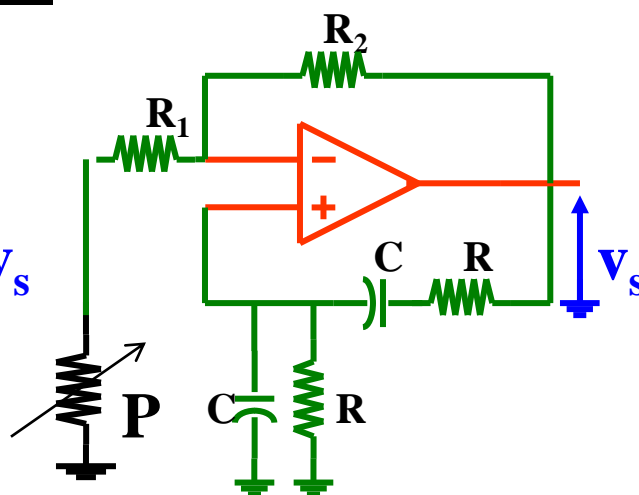
$$A > 3 \quad soit \quad \frac{R_2}{R_1} > 2$$

Chapitre IV : Les oscillateurs

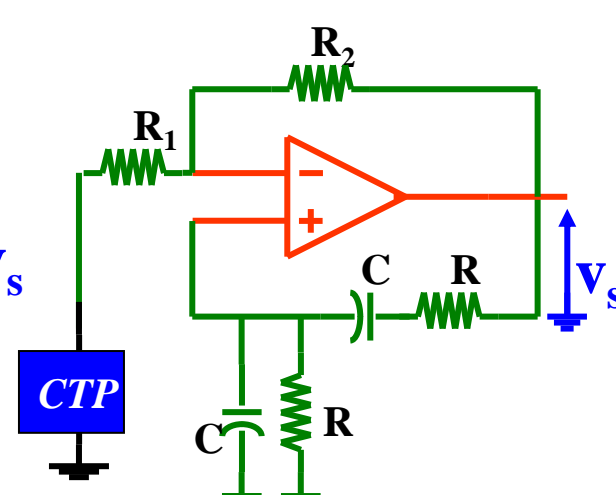
Contrôle manuel du gain



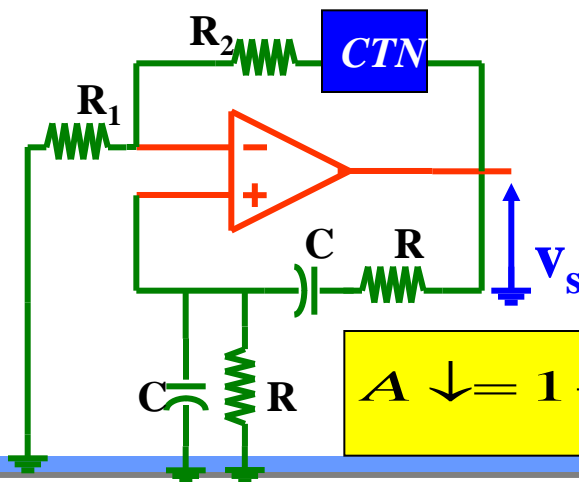
$$A = 1 + \frac{R_2}{R_1}$$



$$A \uparrow \text{ ou } \downarrow = 1 + \frac{R_2}{P + R_1}$$



$$A \downarrow = 1 + \frac{R_2}{CTP + R_1}$$



$$A \downarrow = 1 + \frac{R_2 + CTN}{R_1}$$

Chapitre IV : Les oscillateurs

Contrôle automatique du gain

Régulation : CAG

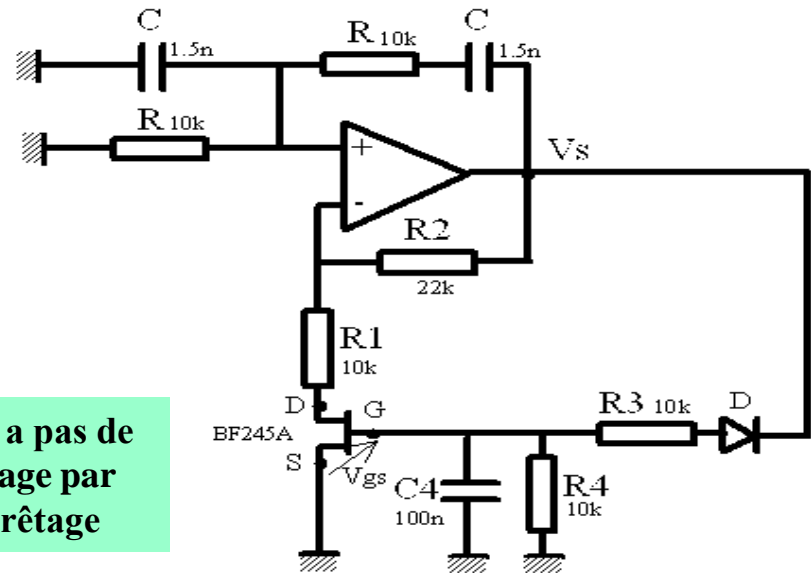
- la diode D associée à R3, R4 et C4 produit une tension grille négative qui augmente avec l'amplitude du signal de sortie: $V_{gs} = K V_s$
- la résistance Drain - Source du TEC dépend, dans la zone ohmique, de la tension grille V_{gs} et de la tension de pincement V_p selon la relation :

$$R_{ds} = \frac{R_{ds0}}{1 - \left| \frac{V_{gs}}{V_p} \right|} \Rightarrow \begin{cases} \text{canal pincé : } R_{ds} \approx \infty \\ \text{canal ouvert : } R_{ds} \approx R_{ds0} \end{cases}$$

- l'amplification s'écrit :

$$A = 1 + \frac{R_2}{R_1 + R_{ds}}$$

Il n'y a pas de passage par l'écrêtage



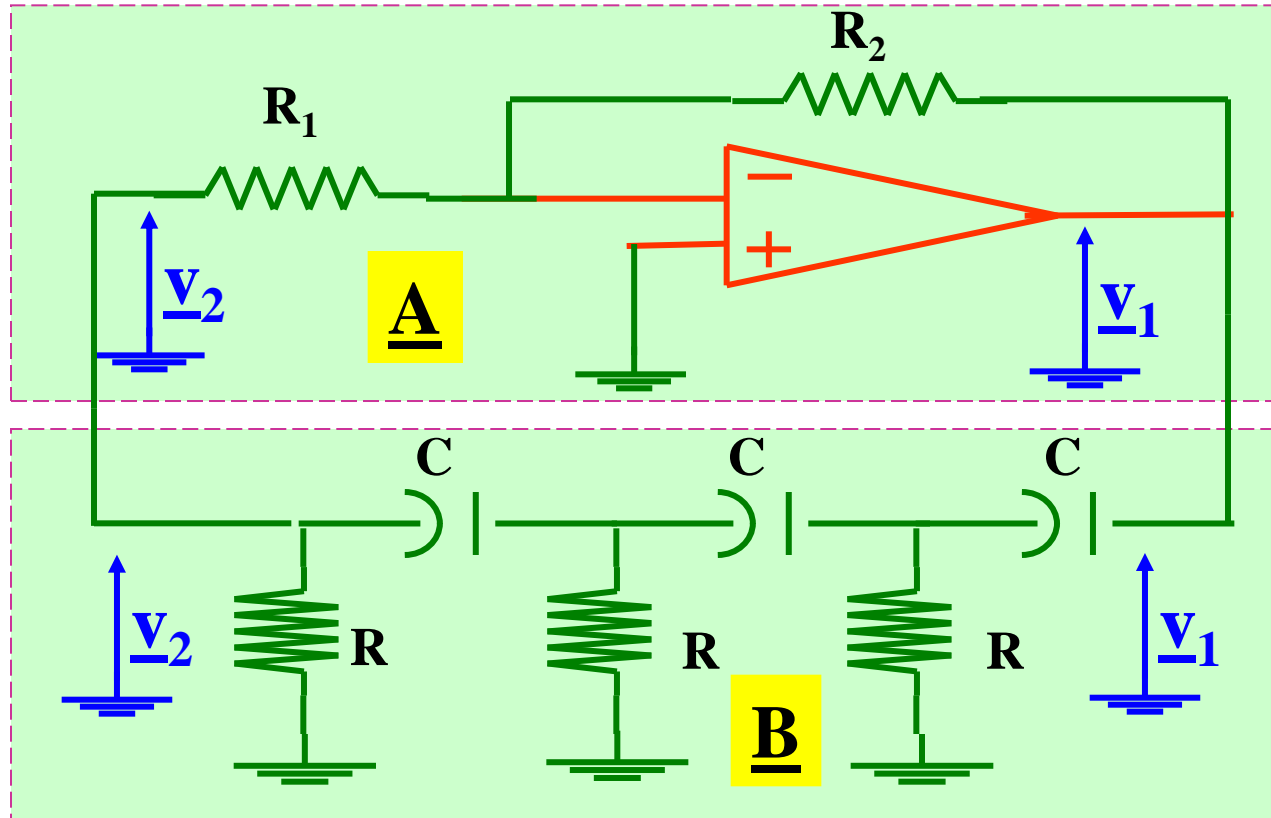
- l'amplification diminue si le niveau de la tension de sortie Vs augmente car Rds augmente
- l'amplification augmente si le niveau de la tension de sortie Vs diminue car Rds diminue

$$\underline{A} \cdot \underline{B} > 1 \quad \text{ou} \quad \underline{A} \cdot \underline{B} < 1 \quad \Rightarrow \quad \underline{A} \cdot \underline{B} = 1$$

Chapitre IV : Les oscillateurs

2°) Oscillateur à réseau déphaseur

Montage oscillateur



Amplificateur
inverseur

$$R_1 // R \simeq R$$

Réaction
réseau
déphaseur

$$f_0 = \frac{1}{2 \cdot \pi \cdot R \cdot C \cdot \sqrt{6}}$$

Chapitre IV : Les oscillateurs

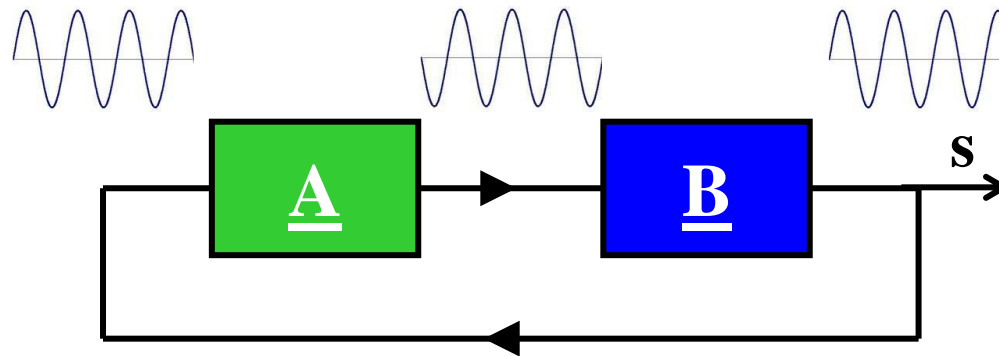
- Le réseau déphaseur constitué de 3 cellules RC introduit un déphasage de 180 °entre l'entrée et la sortie à la fréquence :

$$f_0 = \frac{1}{2\pi RC \sqrt{6}}$$

- L'atténuation du filtre vaut alors :

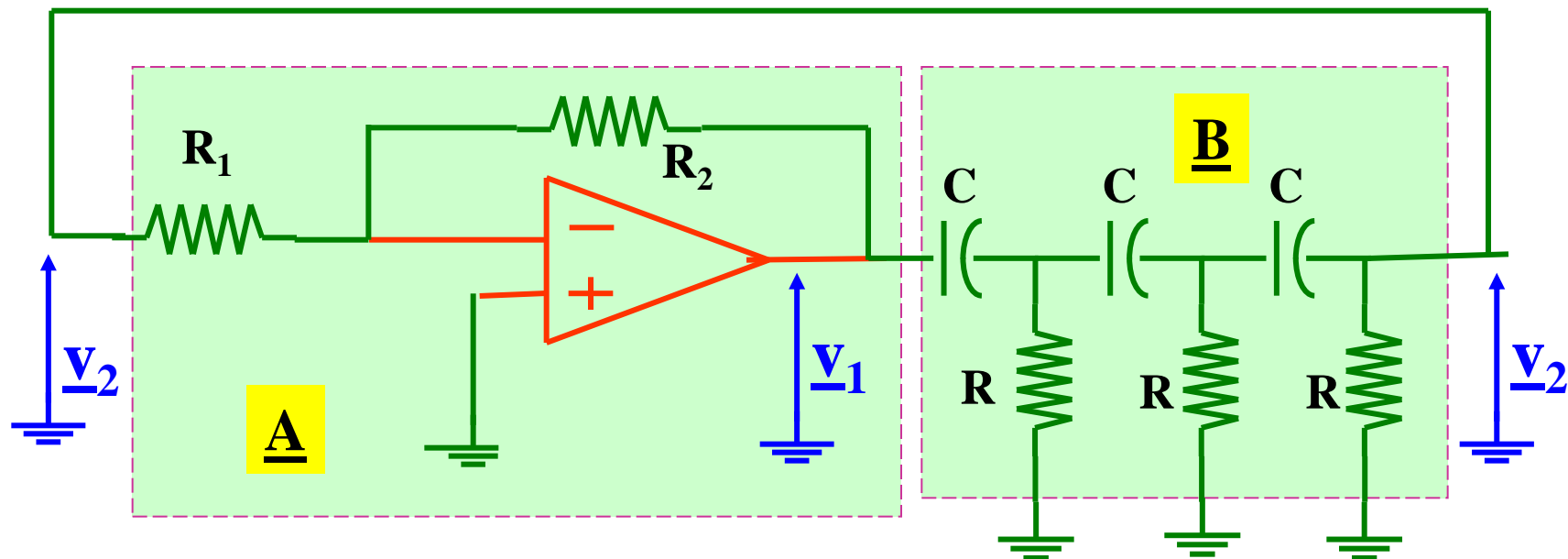
$$\underline{B}(f_0) = -\frac{1}{29} \Rightarrow B = \frac{1}{29}$$

- On pourra donc réaliser un oscillateur en associant ce réseau déphaseur à un amplificateur inverseur.

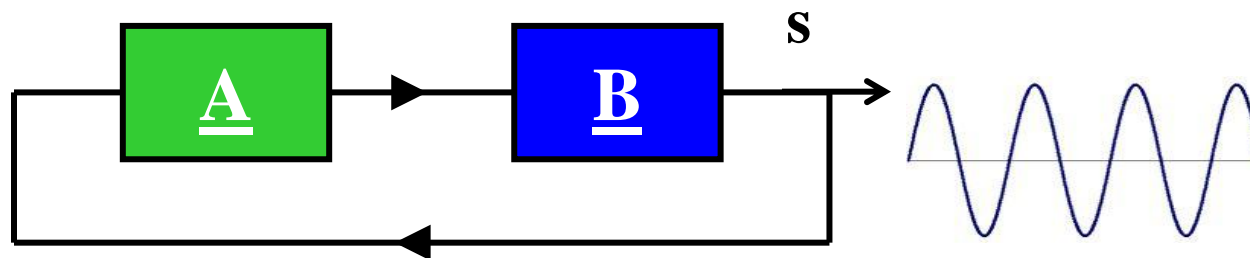


Chapitre IV : Les oscillateurs

Mise en évidence de la boucle de réaction



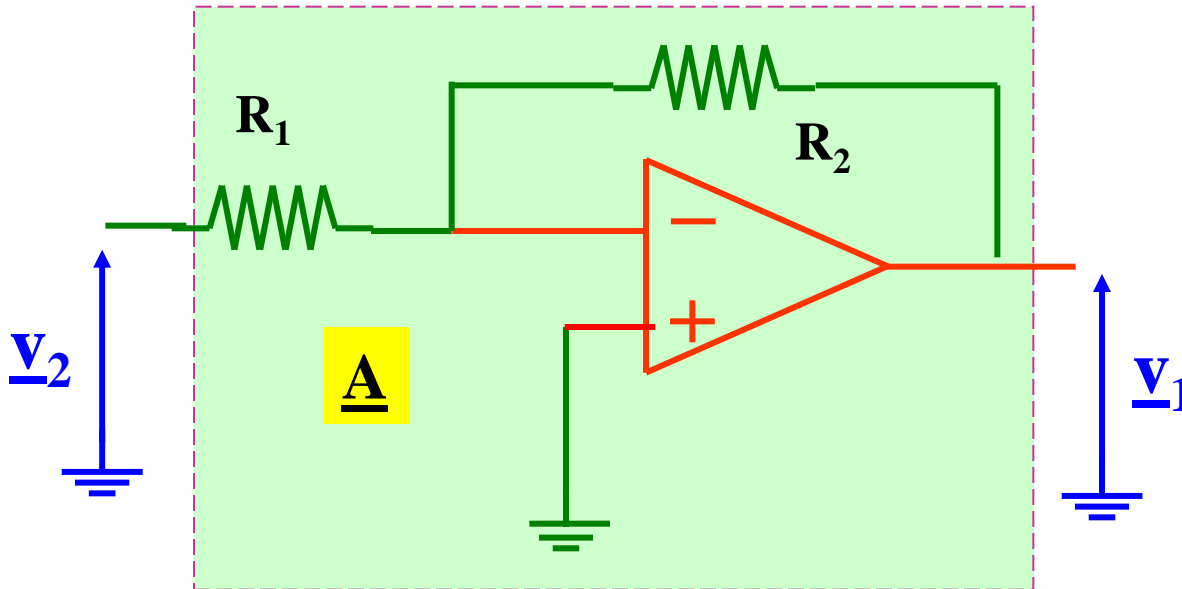
Oscillateur à réseau déphaseur



$$f_0 = \frac{1}{2 \cdot \pi \cdot R \cdot C \cdot \sqrt{6}}$$

Chapitre IV : Les oscillateurs

Calcul de \underline{A} de l'amplificateur

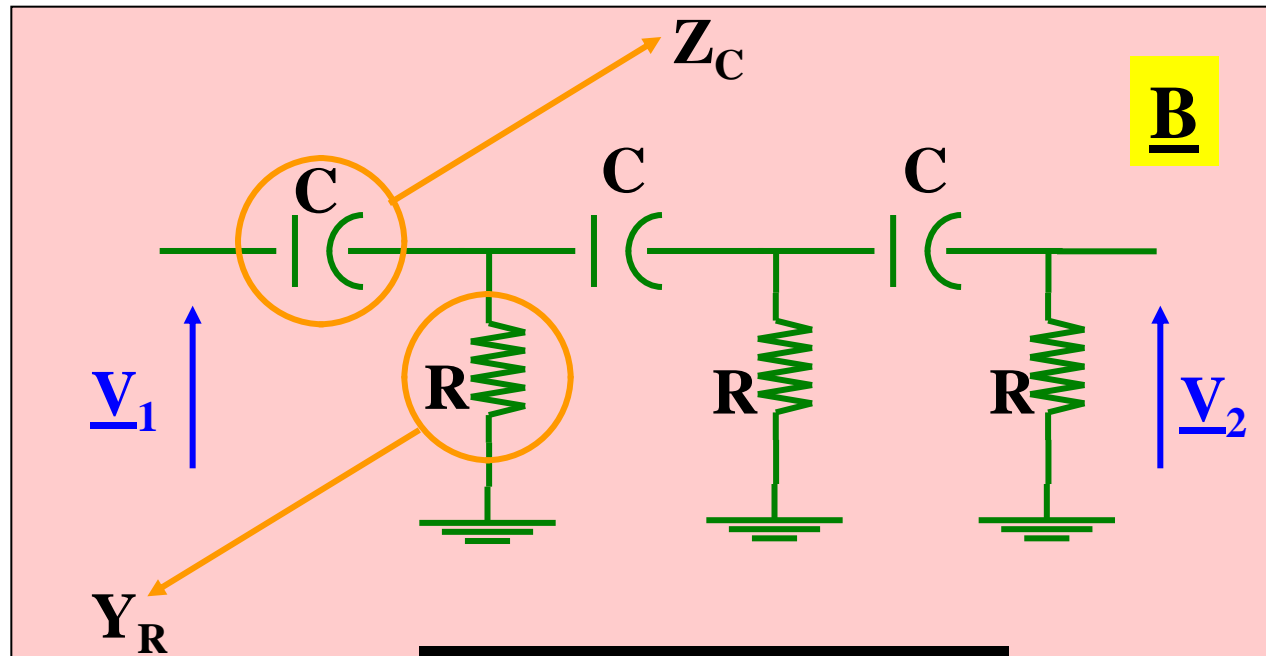


$$\underline{A} = \frac{v_1}{v_2} = -\frac{R_2}{R_1} = G \cdot e^{j\varphi}$$

$$G = \frac{R_2}{R_1} \quad \text{et} \quad \varphi = \pi \quad \forall \text{ fréquence}$$

Chapitre IV : Les oscillateurs

Calcul de \underline{B} du filtre



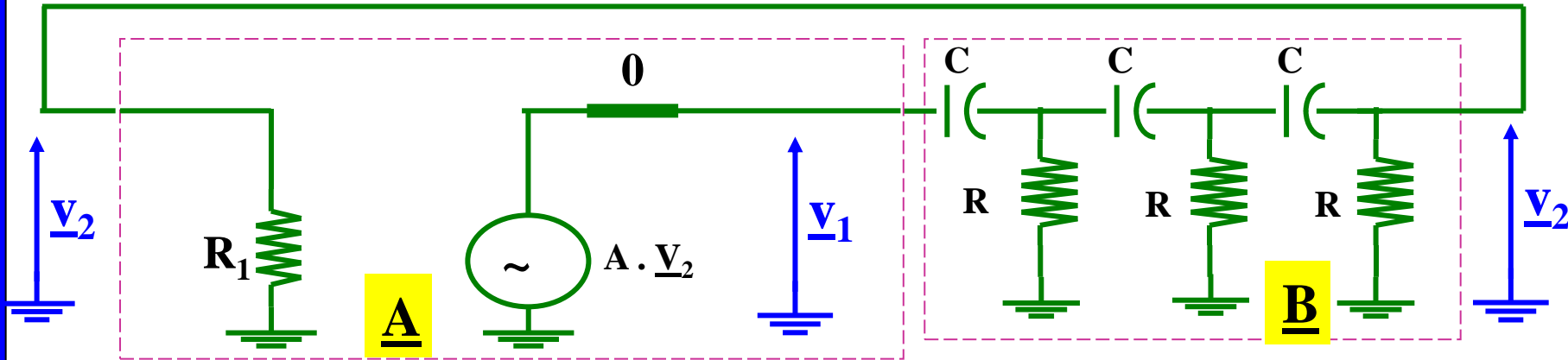
Réseau déphaseur

$$\underline{B} = \frac{v_2}{v_1} = \frac{1}{T_{22}} = \frac{1}{1 + 6x + 5x^2 + x^3} \quad \text{avec} \quad x = Y_R \cdot Z_C = \frac{1}{jRC\omega}$$

Chapitre IV : Les oscillateurs

Mise en évidence de l'effet du couplage entre l'amplificateur et le filtre

Prise en compte des conditions de connexion et mise en évidence de l'effet de Z_E et Z_S sur la chaîne de réaction



Amplificateur inverseur

$$\underline{A} = \frac{\underline{V}_1}{\underline{V}_2} = -\frac{R_2}{R_1}$$

Réaction - Réseau déphaseur

$$\underline{B} = \frac{\underline{V}_2}{\underline{V}_1} = \frac{1}{1 + 5x^2 + x(6 + x^2)}$$

$$R_1 // R \simeq R$$

Hypothèse :

Prise en compte de l'effet de R_1
 \underline{B} reste donc inchangé

$$R = 1,3 \text{ k}\Omega \text{ et } R_1 = 13 \text{ k}\Omega$$

prise en compte du couplage

Chapitre IV : Les oscillateurs

Transmittance de la boucle : $\underline{T} = \underline{A} \cdot \underline{B}$

$$\underline{T} = \frac{v_1}{v_1} = \underline{A} \cdot \underline{B} \quad \text{ou} \quad \underline{T} = \frac{v_2}{v_2} = \underline{B} \cdot \underline{A} \quad \text{car} \quad c'est \text{ une boucle}$$

$$\underline{T} = -\frac{R_2}{R_1} \cdot \frac{1}{1 + 5x^2 + x(6 + x^2)} = \underline{A} \cdot \underline{B} \quad \text{avec} \quad x = \frac{1}{jRC\omega}$$

$$\underline{T} = -\frac{R_2}{R_1} \cdot \frac{1}{1 - 5 \frac{1}{(RC\omega)^2} - j \frac{1}{RC\omega} \left(6 - \frac{1}{(RC\omega)^2} \right)}$$

Chapitre IV : Les oscillateurs

Critère de Barkhausen ou critère d'entretien

$$\underline{T} = 1 \quad \Leftrightarrow \quad \underline{A} \cdot \underline{B} = 1$$

Condition sur la phase : $\varphi_{\underline{T}}(f_0) = 0 \quad \Leftrightarrow \quad \varphi_A(f_0) + \varphi_B(f_0) = 0$

$\varphi_{\underline{T}}(\omega_0) = 0$ si partie imaginaire de \underline{T} est nulle $\Rightarrow 6 - \frac{1}{(RC\omega_0)^2} = 0$

Soit : $f_0 = \frac{1}{2\pi RC\sqrt{6}}$ alors $\underline{T} = \underline{A} \cdot \underline{B} = \left(-\frac{R_2}{R_1}\right) \cdot \left(-\frac{1}{29}\right) = \frac{R_2}{R_1} \cdot \frac{1}{29} = T$ $\left\{ \begin{array}{l} \underline{A} = -\frac{R_2}{R_1} = cte \quad \forall f \\ \underline{B}(f_0) = -\frac{1}{29} \end{array} \right.$

Condition sur le module : $|\underline{T}| = T(f_0) = 1 \quad \Leftrightarrow \quad A(f_0) \cdot B(f_0) = 1$

$$|\underline{T}| = T(f_0) = 1 \quad \Leftrightarrow \quad \left(\frac{R_2}{R_1}\right) \cdot \frac{1}{29} = 1 \quad \Rightarrow \quad A = 29 \quad \text{et} \quad \left(\frac{R_2}{R_1}\right) = 29$$

Chapitre IV : Les oscillateurs

Condition de démarrage

$$\text{Il faut que :} \quad \Rightarrow \quad A_{\min} = 29 \quad \text{et} \quad \left(\frac{R_2}{R_1} \right)_{\min} = 29$$

$$A > 29 \quad \text{soit} \quad \frac{R_2}{R_1} > 29$$

Chapitre IV : Les oscillateurs

III. Oscillateurs à réaction HF

Chapitre IV : Les oscillateurs

1°) Montage du principe de l'oscillateur HF

2°) Différentes structures d'oscillateurs HF

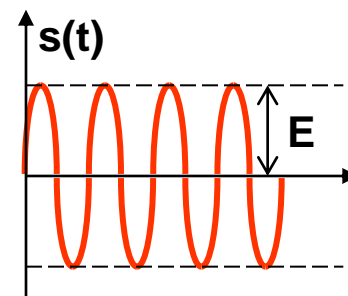
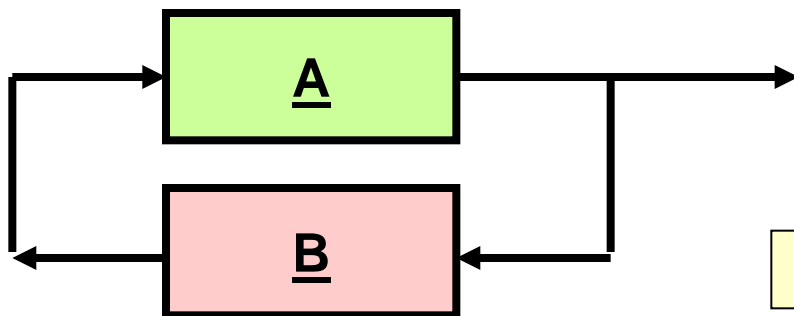
Chapitre IV : Les oscillateurs

1°) Montage du principe de l'oscillateur HF

Principe de conception

► Oscillateurs HF à réaction :

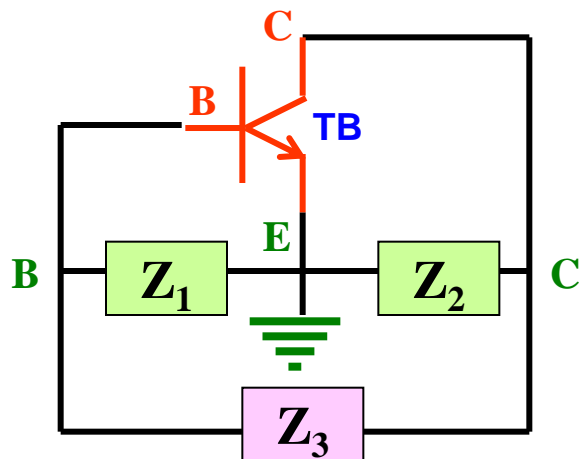
- ⊕ Amplificateur : Transistor TB ou TEC
- ⊕ Filtre : cellules LC



$$s(t) = E. \sin (\omega_0 t) , \omega_0 = 2 \pi f_0$$

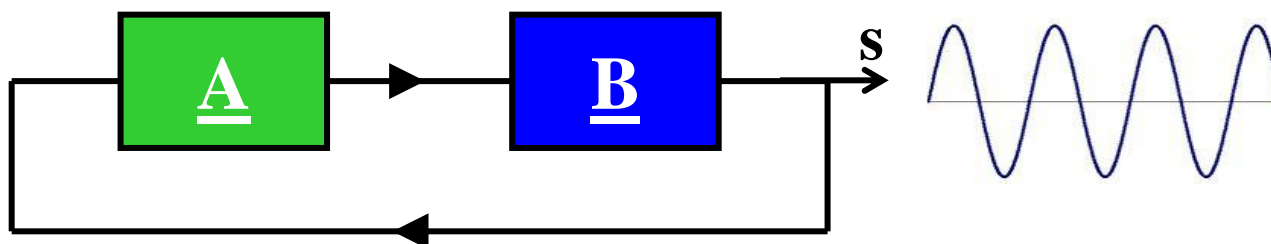
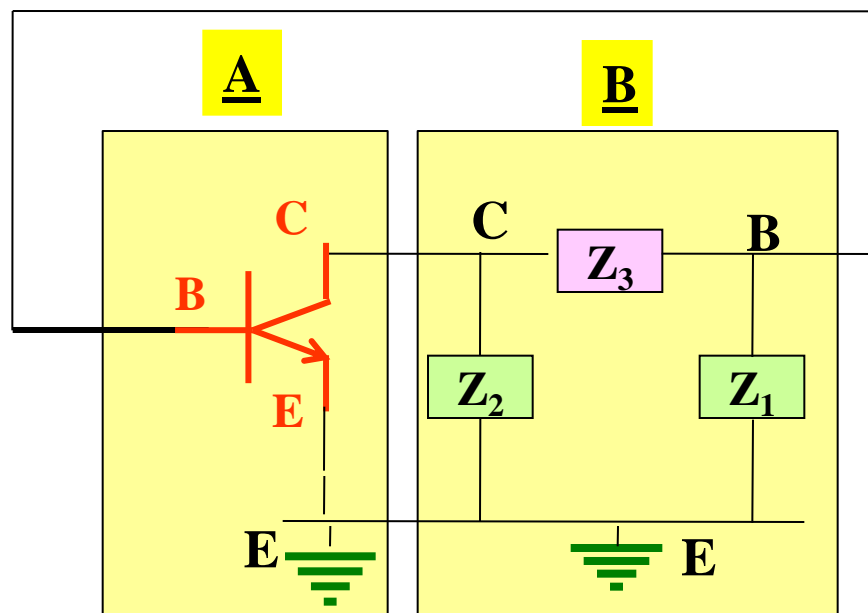
Chapitre IV : Les oscillateurs

Structure de base



Oscillateur HF simplifié
« sans polarisation »

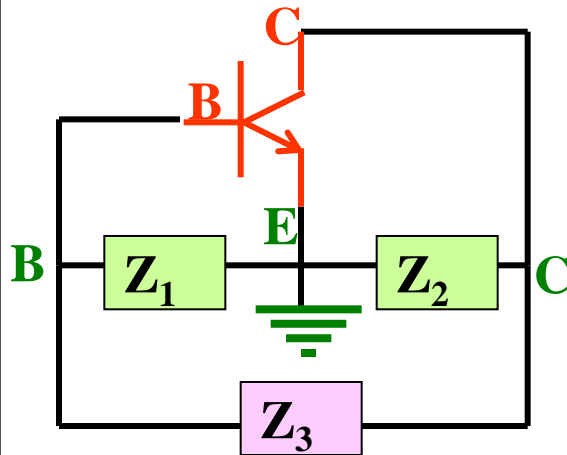
Mise en évidence de la boucle



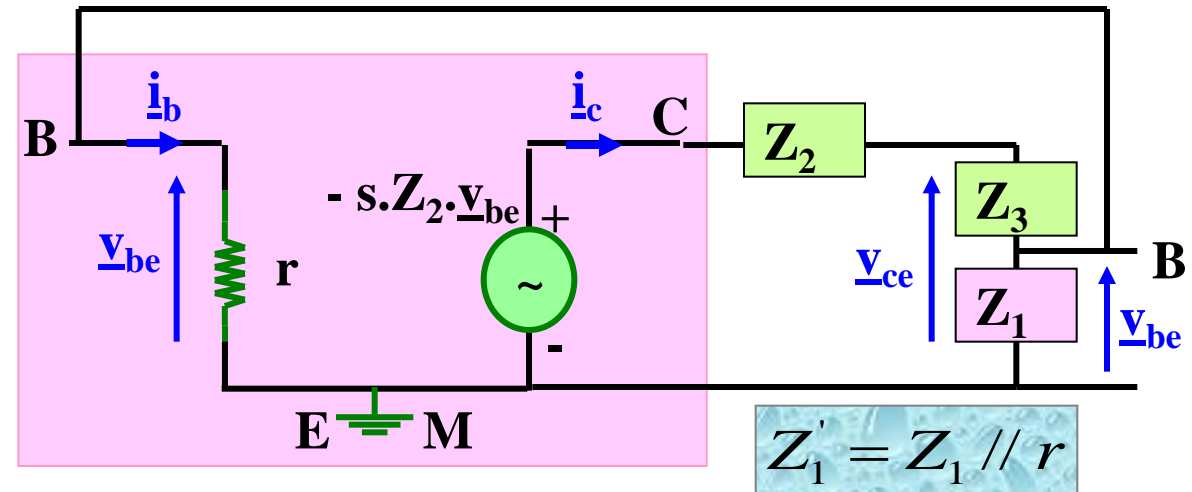
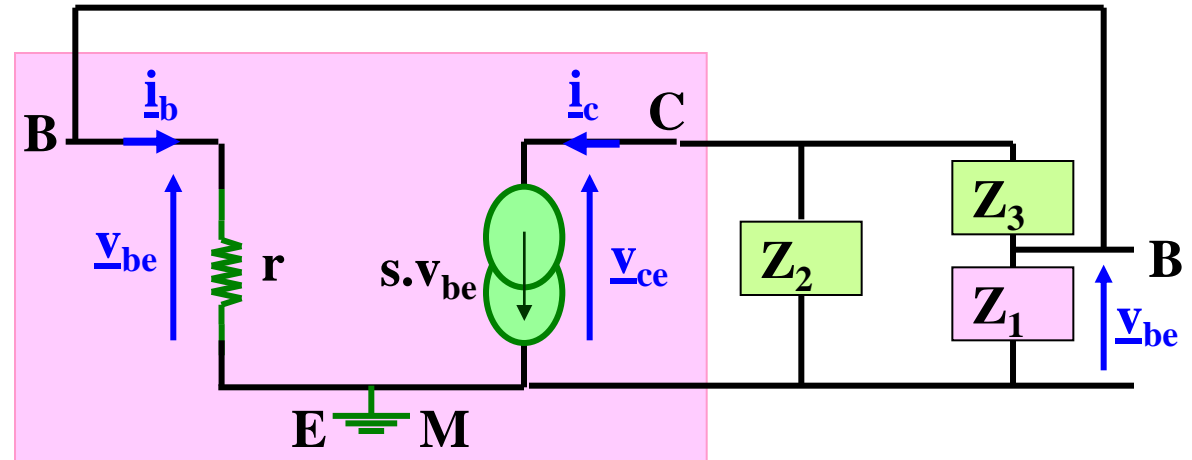
$$f_0 = ???$$

Chapitre IV : Les oscillateurs

Mise en évidence de couplage



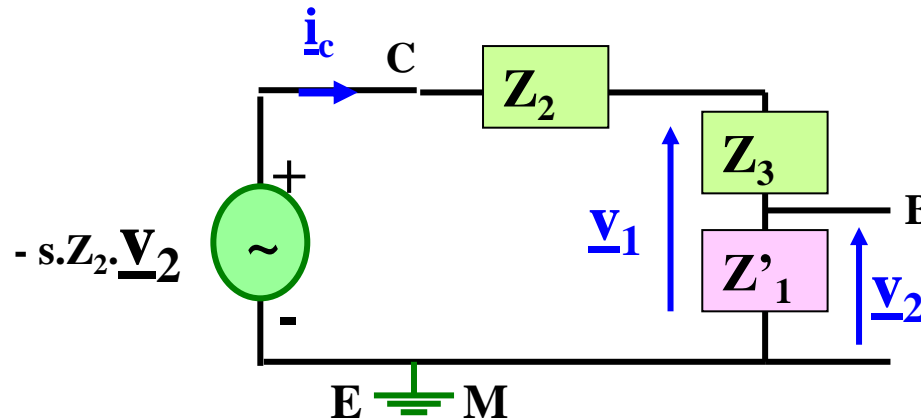
Oscillateur HF à base du TB



prise en compte du couplage

Chapitre IV : Les oscillateurs

Transmittance de la boucle : $\underline{T} = \underline{A} \cdot \underline{B}$



On pose :

$$\underline{v}_{be} = \underline{v}_2 \quad \text{et} \quad \underline{v}_{ce} = \underline{v}_1$$

$$\underline{T} = \frac{\underline{v}_1}{\underline{v}_2} = \frac{\underline{v}_2}{\underline{v}_2} \quad \text{et} \quad \underline{v}_2 = -s \cdot Z_2 \cdot \underline{v}_2 \frac{Z'_1}{Z'_1 + Z_2 + Z_3} \quad \text{avec} \quad Z'_1 = Z_1 \parallel r$$

$$\underline{T} = -\frac{s \cdot Z_2 \cdot Z'_1}{Z'_1 + Z_2 + Z_3} = -\frac{s \cdot Z_2 \cdot (Z_1 \parallel r)}{(Z_1 \parallel r) + Z_2 + Z_3} = -\frac{s \cdot Z_2 \cdot Z_1 \cdot r}{Z_1 \cdot r + (Z_2 + Z_3) \cdot (r + Z_1)} = -\frac{s \cdot Z_2 \cdot Z_1 \cdot r}{(Z_2 + Z_3) \cdot Z_1 + r \cdot (Z_1 + Z_2 + Z_3)}$$

► Si les impédances Z_1 , Z_2 , Z_3 sont des éléments purs (inductances L ou capacités C), on peut poser : $Z_1 = j X_1$, $Z_2 = j X_2$, $Z_3 = j X_3$. On a :

$$\underline{T} = \frac{s \cdot X_1 \cdot X_2 \cdot r}{-(X_2 + X_3) \cdot X_1 + j \cdot r \cdot (X_1 + X_2 + X_3)}$$

Chapitre IV : Les oscillateurs

Critère de Barkhausen ou critère d'entretien

$$\underline{T} = 1 \quad \Leftrightarrow \quad \underline{A} \cdot \underline{B} = 1$$

Condition sur la phase : $\varphi_{\underline{T}}(f_0) = 0 \quad \Leftrightarrow \quad \varphi_{\underline{A}}(f_0) + \varphi_{\underline{B}}(f_0) = 0$

$\varphi_{\underline{T}}(f_0) = 0$ si partie imaginaire de \underline{T} est nulle $\Rightarrow X_1 + X_2 + X_3 = 0$

$$-X_1 = X_2 + X_3 \quad \Rightarrow \quad \underline{T} = \frac{s \cdot X_1 \cdot X_2 \cdot r}{-(X_2 + X_3) \cdot X_1} = \frac{s \cdot X_2 \cdot r}{X_1}$$

Condition sur le module : $|\underline{T}| = T(f_0) = 1 \quad \Leftrightarrow \quad A(f_0) \cdot B(f_0) = 1$

$$|\underline{T}| = T(f_0) = 1 \quad \Leftrightarrow \quad \left| \frac{r \cdot X_2 \cdot S}{X_1} \right| = 1 \quad \underbrace{\text{autrement}}_{\text{le module é tant oté}} \quad r \cdot S \left(\frac{X_2}{X_1} \right) = 1 \quad \text{à condition que} \quad \frac{X_2}{X_1} > 0$$

Alors $\underbrace{X_1 \text{ et } X_2 \text{ sont de même signe (ou de même nature)}}_{X_3 \text{ de signe opposé car } X_1 + X_2 = -X_3}$

Chapitre IV : Les oscillateurs

$$|T| = T(f_0) = 1 \quad \Leftrightarrow \quad \left| \frac{r \cdot X_2 \cdot S}{X_1} \right| = 1 \quad \underbrace{\text{autrement}}_{\text{le module é tant oté}} \quad r \cdot S \left(\frac{X_2}{X_1} \right) = 1 \quad \text{à condition que} \quad \frac{X_2}{X_1} > 0$$

Alors $\underbrace{X_1 \text{ et } X_2 \text{ sont de même signe (ou de même nature)}}_{X_3 \text{ de signe opposé car } X_1 + X_2 = -X_3}$

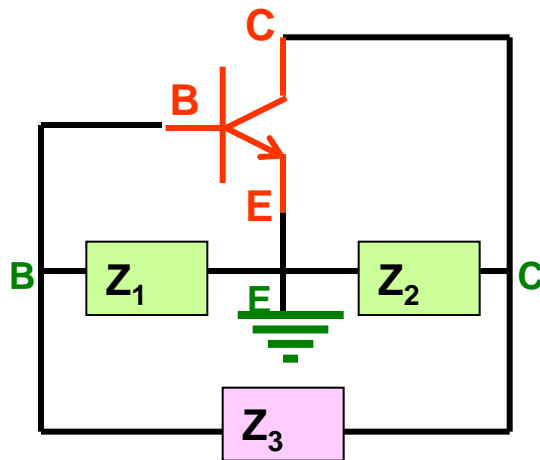
Condition de démarrage :

$$T > 1 \quad \text{soit} \quad r \left| \frac{X_2}{X_1} \right| S > 1 \quad \text{ou} \quad r \frac{X_2}{X_1} S > 1 \quad \text{si} \quad \frac{X_2}{X_1} > 0$$

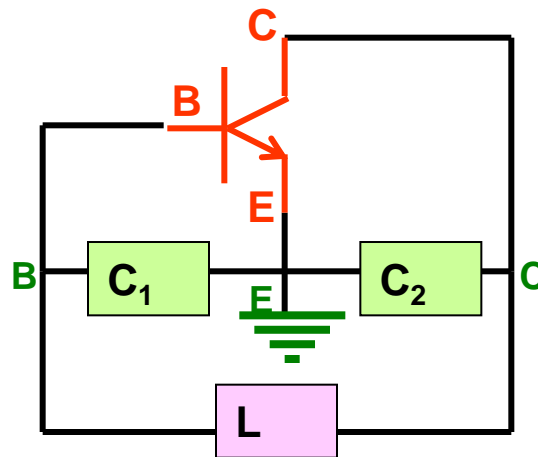
Chapitre IV : Les oscillateurs

2°) Différentes structures d'oscillateurs HF

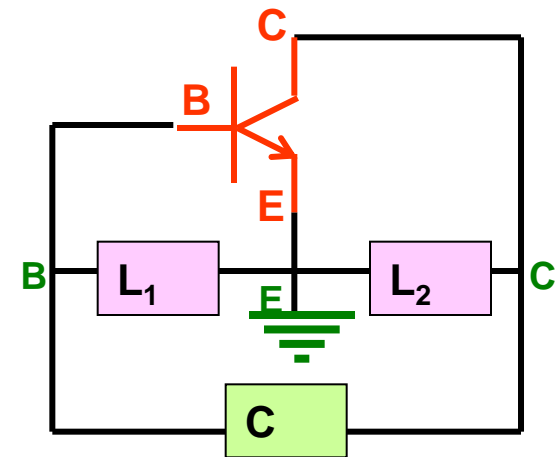
- Cette dernière condition $X_2/X_1 > 0$ a pour conséquence que les réactances X_1 et X_2 sont de mêmes signes.
- Comme d'après la première condition de phase $X_3 = -(X_1 + X_2)$ on a deux solutions possibles :
 - Les réactances X_1 et X_2 sont toutes les deux négatives, ce sont donc des condensateurs, X_3 est alors positive c'est une inductance, c'est le montage **Pièce**.
 - Les réactances X_1 et X_2 sont toutes les deux positives, ce sont donc des inductances, X_3 est alors négative c'est un condensateur, c'est le montage **Hartley**.



Montage du principe



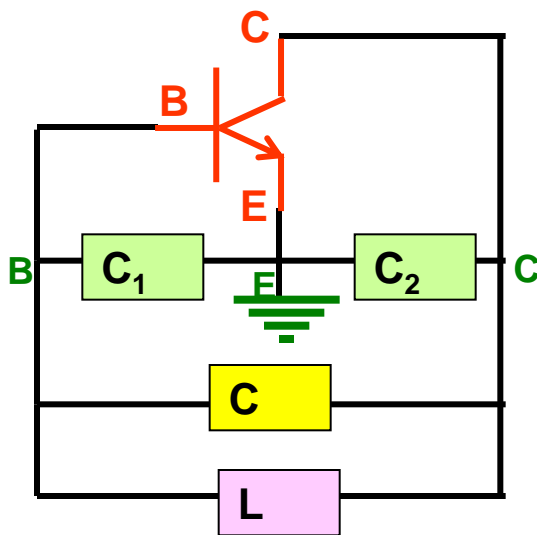
Oscillateur de Pièce



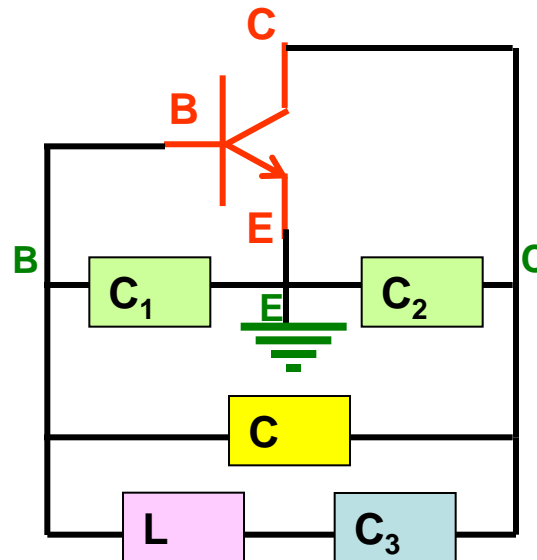
Oscillateur de Hartley

Chapitre IV : Les oscillateurs

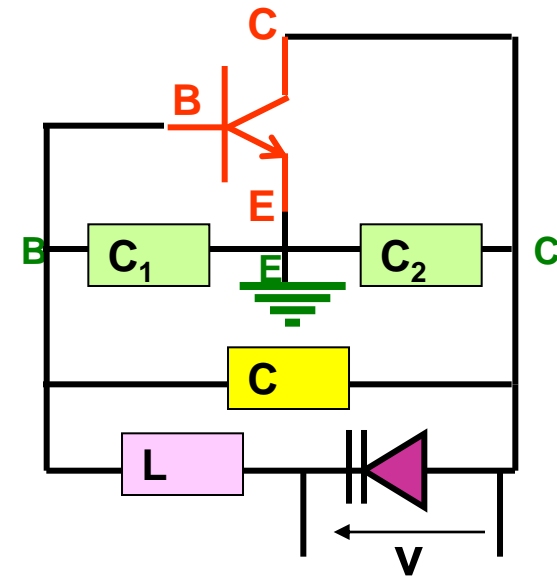
- On utilise également l'oscillateur **Colpitts** qui est comparable à l'oscillateur Pièce puisque l'inductance L , est alors remplacée par un circuit résonant parallèle $L C$.
- On utilise également l'oscillateur **Clapp** qui est comparable à l'oscillateur Colpitts puisque l'inductance L , est alors remplacée par un circuit résonant série $L C_3$.
- On utilise également l'oscillateur **VCO** qui est comparable à l'oscillateur Clapp puisque le condensateur C_3 , est alors remplacée par diode varicap.



Oscillateur de Collpits



Oscillateur de Clapp

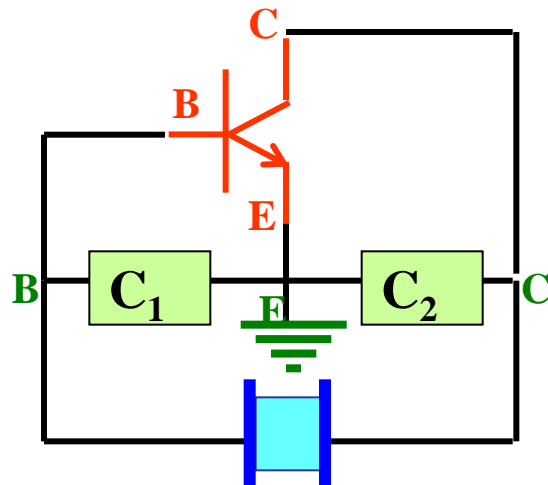


Oscillateur commandé
par une tension : VCO

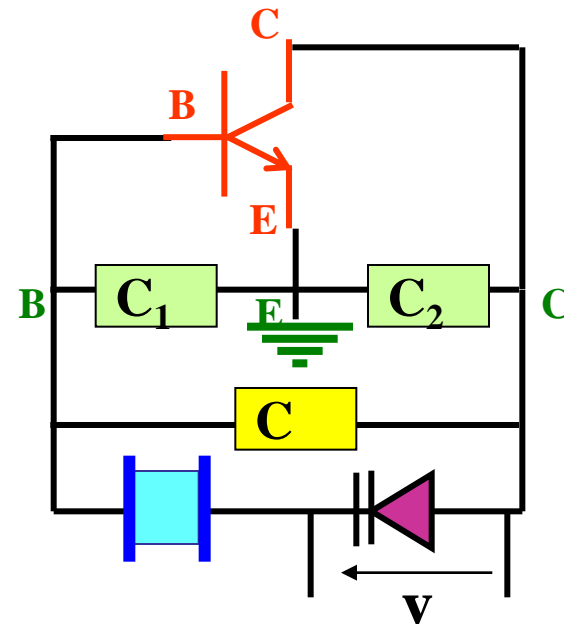
Chapitre IV : Les oscillateurs

Pour une meilleure stabilité de l'oscillateur :

- On utilise également l'oscillateur à quartz qui est comparable à l'oscillateur Pièce puisque l'inductance L , est alors remplacée par un cristal de quartz.
- On utilise également l'oscillateur VCXO qui est comparable à l'oscillateur VCO puisque l'inductance L , est alors remplacée par un cristal de quartz.



Oscillateur à quartz

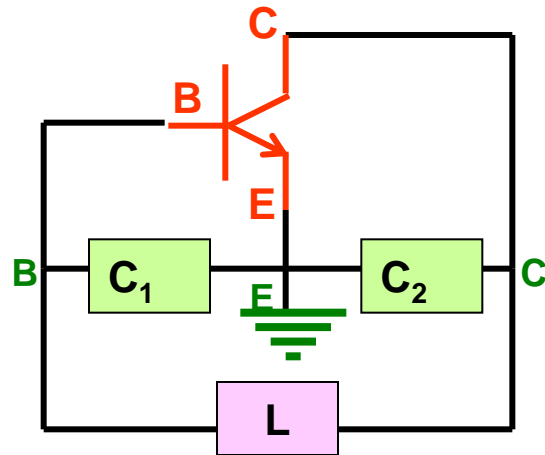


Oscillateur à quartz commandé
par une tension : VCXO

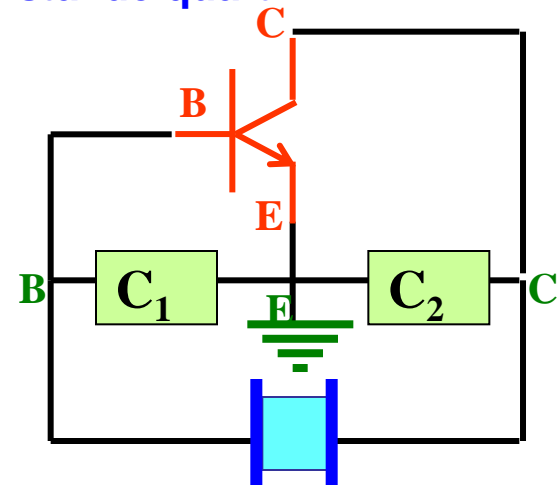
Chapitre IV : Les oscillateurs

Principe de la stabilisation des oscillateurs :

- ▶ En général les applications des oscillateurs réclament une **grande stabilité**.
- ▶ Pour qu'un oscillateur soit stable, il faut que les éléments utilisés dépendent le moins possible de la température.
- ▶ Ainsi la stabilité sera -t-elle d'autant plus grande que le coefficient de qualité du cristal résonnant sera plus élevé.
- ▶ pour obtenir ce résultat, il est particulièrement intéressant de remplacer le circuit électrique L (pièce) LC (colpitts ou clapp) par un cristal de quartz



Oscillateur de Pièze



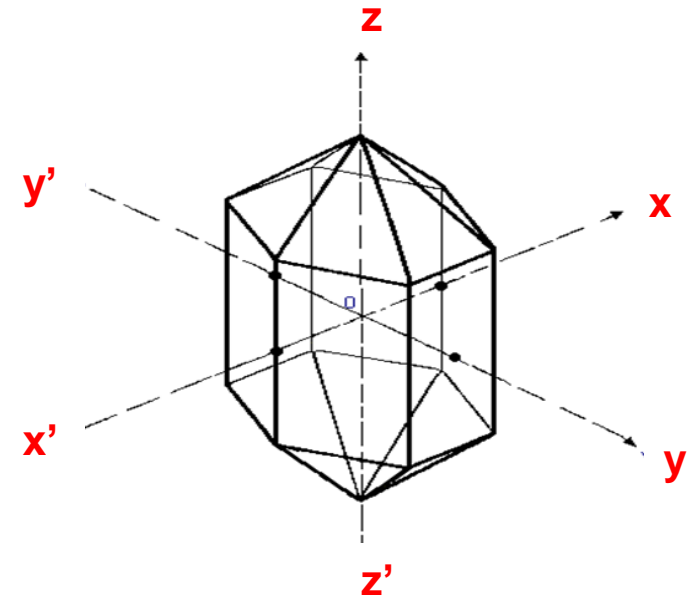
Oscillateur à quartz

Chapitre IV : Les oscillateurs

Principe du Quartz :

- ▶ Le quartz est de la silice (SiO_2) cristallisée dans le système hexagonal.
- ▶ Il existe trois axes de symétrie dans la structure cristalline du quartz comme le montre la figure.

- ✓ l'axe optique ZZ' passant par les sommets.
- ✓ l'axe mécanique XX' passant par les arêtes.
- ✓ l'axe électrique YY' perpendiculaire aux faces de l'hexagone.



Axes de symétrie du quartz

Chapitre IV : Les oscillateurs

- ▶ Des oscillateurs à quartz sont utilisés quand une stabilité élevée est requise pour un montage.
- ▶ La stabilité en fréquence est directement liée au coefficient de qualité du filtre déphaseur utilisé dans le quadripôle de réaction ou quelquefois dans la chaîne directe.
- avec un circuit résonant LC, le coefficient de qualité ne dépasse guère $Q = 80$ à cause des pertes dans la bobine
- les résonateurs, mettant à profit des résonances mécaniques ou EM, permettent d'atteindre des valeurs $Q = 500$ et plus
- dans le cas du quartz est une résonance mécanique

Règle: pour une bonne stabilité en fréquence, l'oscillateur doit être construit autour de filtres déphaseurs à fort coefficient de qualité.

symbole électronique
du quartz

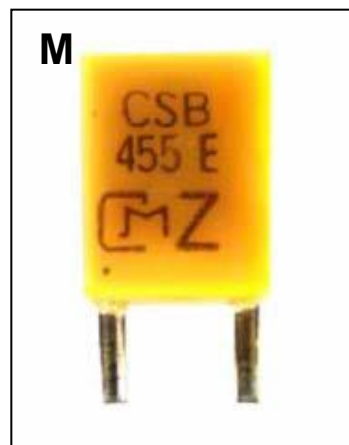


Aspect du boîtier
couramment utilisé
pour les quartz



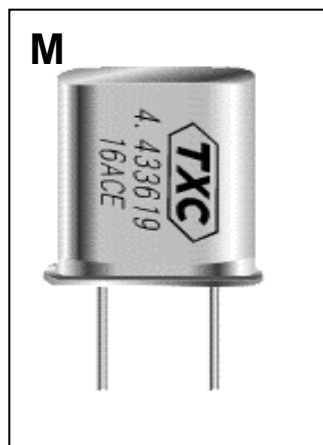
Chapitre IV : Les oscillateurs

Quelques exemples d'oscillateurs sinusoïdaux



Résonateur
céramique

de 32 kHz à 10 MHz



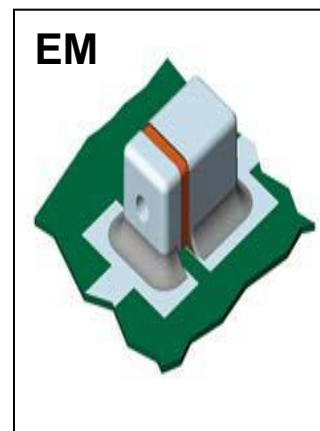
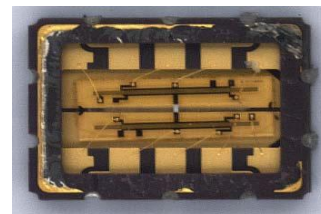
Quartz
piézoélectrique

de 1 MHz à 100 MHz



Résonateur à onde
de surface

de 100 MHz à 1 GHz



Résonateur
céramique coaxial

de 500 MHz à 5 GHz



Résonateurs
diélectriques

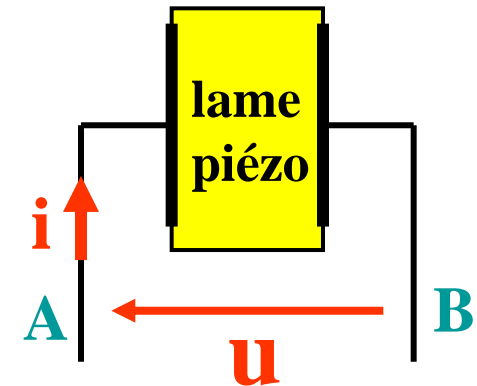
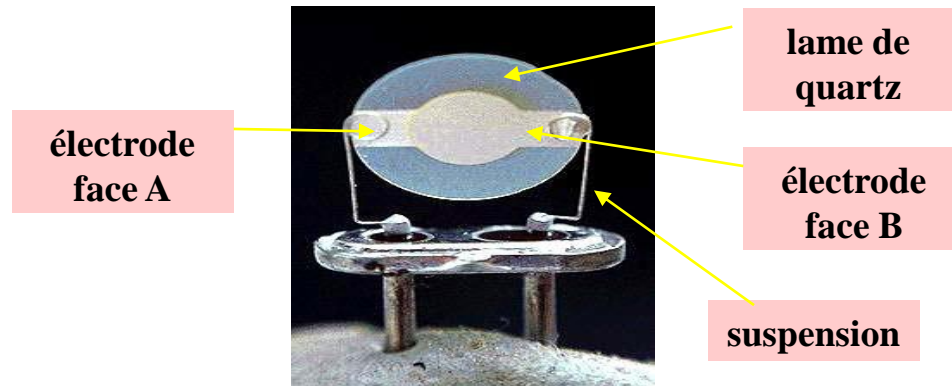
au delà de 1 GHz



Q = 500 et plus

Chapitre IV : Les oscillateurs

► Le quartz est constitué d'une lame de matériau piézoélectrique prise entre deux électrodes :

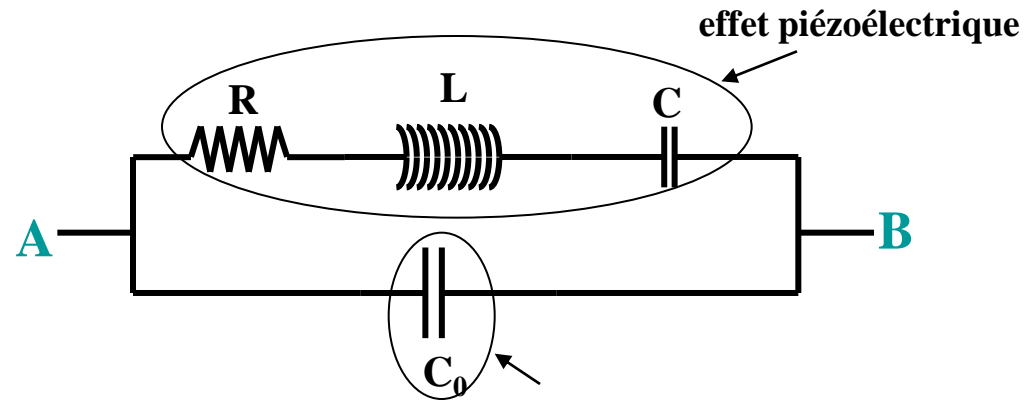


- Sous l'action de la tension alternative u , la lame vibre à la même fréquence
- Comme tout système mécanique, la lame possède des fréquences de vibrations propres
- Suivant la coupe et les dimensions du cristal, les fréquences de résonance (vibration) réalisables sont de 4 KHz à 50 MHz.
- Les cristaux de fréquences basses sont lourds et encombrants tandis qu'ils sont très fins et fragiles aux fréquences élevées.

Chapitre IV : Les oscillateurs

► La résonance mécanique du quartz se traduit par une variation de l'impédance entre les deux électrodes qui peut être modélisée par le schéma électrique suivant :

Les propriétés électriques du dipôle sont liées aux vibrations de la lame



- Les fils de liaison
- Élément actif branché aux bornes du quartz

- C_0 : capacité entre les électrodes (de 10 pF à 200 pF)
- R : vient des pertes dans le cristal (0,01 à 1 kohms)
- L : traduit l'existence de l'inertie mécanique (10 mH à 10 H)
- C : traduit l'existence des forces de rappel (0,01 à 1 pF)

Chapitre IV : Les oscillateurs

► Pour le calcul de l'impédance équivalente, on peut négliger la résistance R qui est toujours très petite :

$$Y = \frac{1}{Z} = \frac{1}{jL\omega + \frac{1}{jC\omega}} + jC_0\omega = \frac{jC\omega}{1-LC\omega^2} + jC_0\omega = \frac{jC\omega}{1-LC\omega^2} + jC_0\omega \left(\frac{1-LC\omega^2}{1-LC\omega^2} \right)$$

$$Y = \frac{1}{Z} = \frac{jC\omega + jC_0\omega(1-LC\omega^2)}{1-LC\omega^2} = \frac{jC\omega + jC_0\omega - jLCC_0\omega^3}{1-LC\omega^2}$$

$$Y = \frac{1}{Z} = j\omega \frac{C + C_0 - LCC_0\omega^2}{1-LC\omega^2} = \frac{1}{jX} \Rightarrow X = -\frac{1-LC\omega^2}{\omega(C + C_0 - LCC_0\omega^2)}$$

► On pose : $Z = jX$

- X positif si le cristal se comporte comme une inductance
- X négatif si le cristal se comporte comme une capacité

$$X = -\frac{1-LC\omega^2}{\omega(C + C_0 - LCC_0\omega^2)}$$

$\omega_s = \frac{1}{\sqrt{LC}} \Rightarrow X = 0$

$\omega_p = \frac{1}{\sqrt{L\Gamma}} \quad \text{avec} \quad \Gamma = \frac{CC_0}{C+C_0} \Rightarrow X = \infty$

Chapitre IV : Les oscillateurs

► Ces composants sont caractérisés par les pulsations de résonance série et parallèle appelées aussi résonance et antirésonance, très proches l'une de l'autre

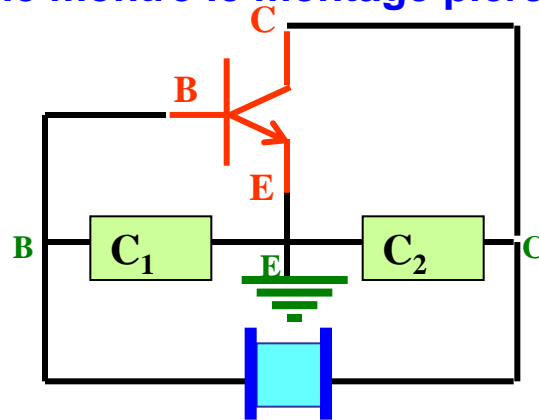
► Il en résulte que :

$$\frac{\omega_p}{\omega_s} = \frac{f_p}{f_s} = \frac{\sqrt{LC}}{\sqrt{L \frac{C C_0}{C + C_0}}} = \left(1 + \frac{C}{C_0}\right)^{\frac{1}{2}} \approx 1 + \frac{C}{2C_0}$$

► Comme la capacité C_0 est beaucoup plus élevée que la capacité C ($C_0 \simeq 1000 C$), l'écart relatif entre les deux fréquences f_s et f_p est alors faible.

► Ainsi dans une bande très étroite de fréquence ($\Delta f = f_p - f_s$), le quartz est –il inductif, sa réactance variant très rapidement de zéro à une valeur très élevée.

► C'est dans ces conditions que les quartz sont utilisés pour stabiliser la fréquence d'auto-oscillateurs comme le montre le montage piëze à quartz (sans alimentations).

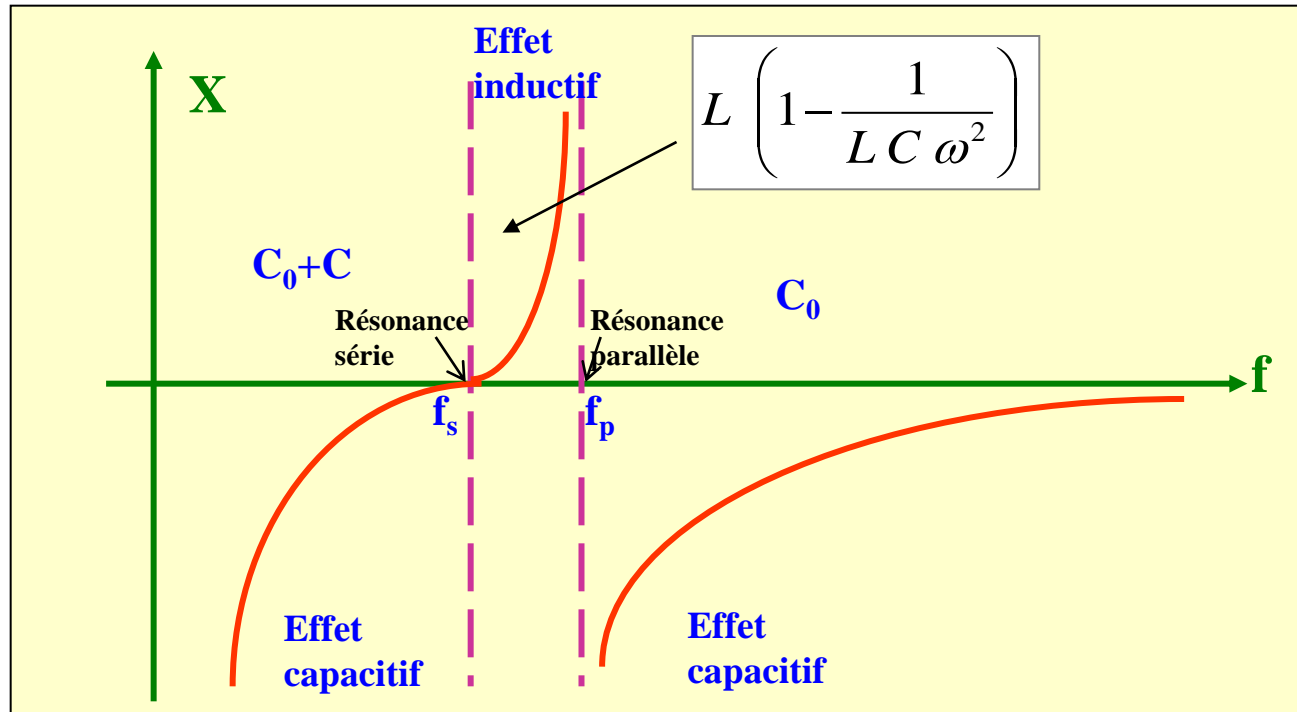


Chapitre IV : Les oscillateurs

► Si on néglige l'influence de R, l'impédance du composant s'écrit :

$$Z = jX = \frac{1}{j(C + C_0)\omega} \cdot \frac{1 - \frac{\omega^2}{\omega_s^2}}{1 - \frac{\omega^2}{\omega_p^2}}$$

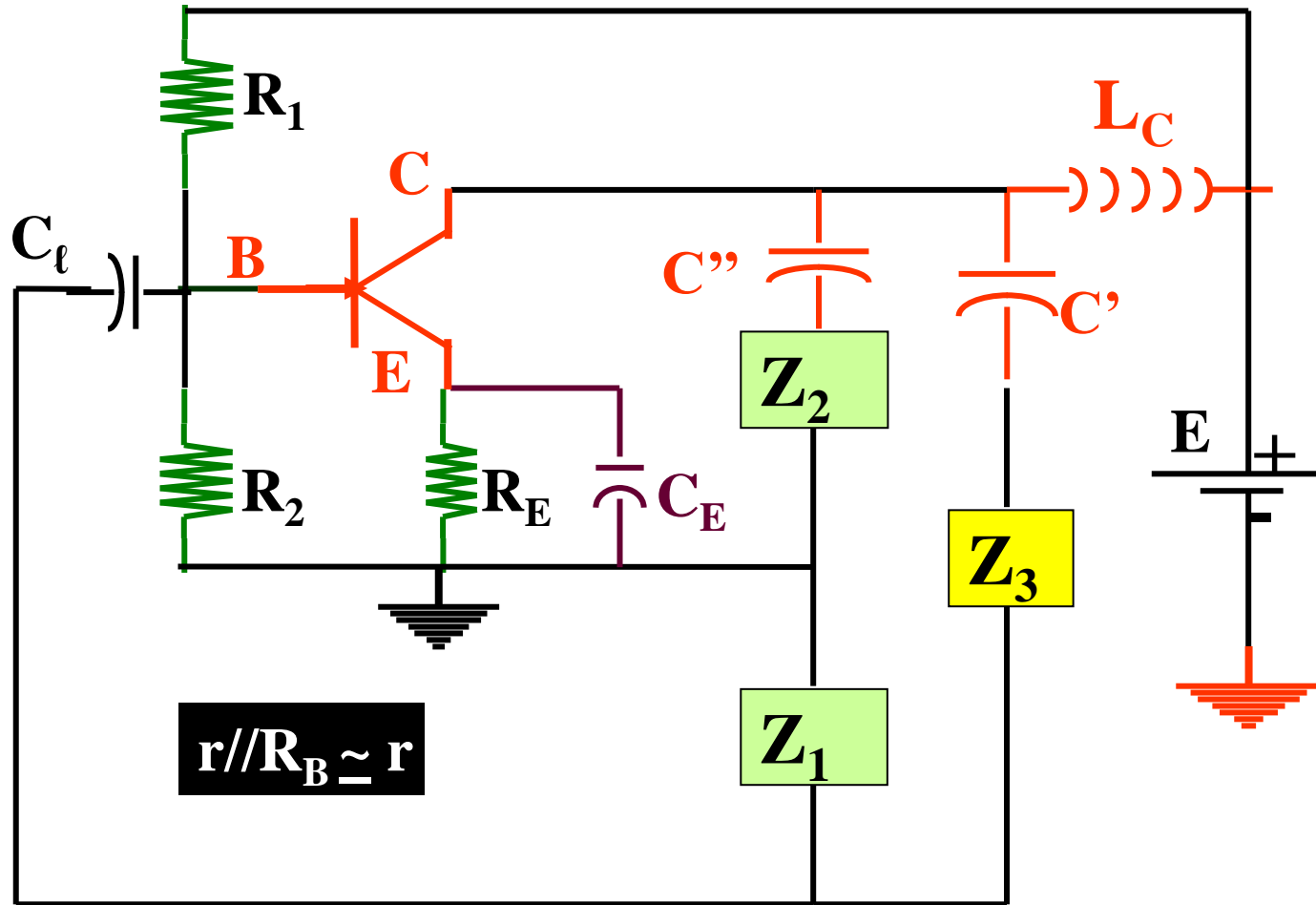
$$X = -\frac{1}{\omega(C + C_0)} \cdot \frac{1 - \frac{\omega^2}{\omega_s^2}}{\left(1 - \frac{\omega^2}{\omega_p^2}\right)}$$



AN: si $L = 9,2 \text{ mH}$, $C = 0,028 \text{ pF}$ et $C = 20 \text{ pF}$ on a $f_s = 9,916 \text{ MHz}$ et $f_p = 9,923 \text{ MHz}$.

Chapitre IV : Les oscillateurs

Montage pratique



Oscillateur HF à base du TB

IV. Oscillateurs à résistance négative BF et HF

Chapitre IV : Les oscillateurs

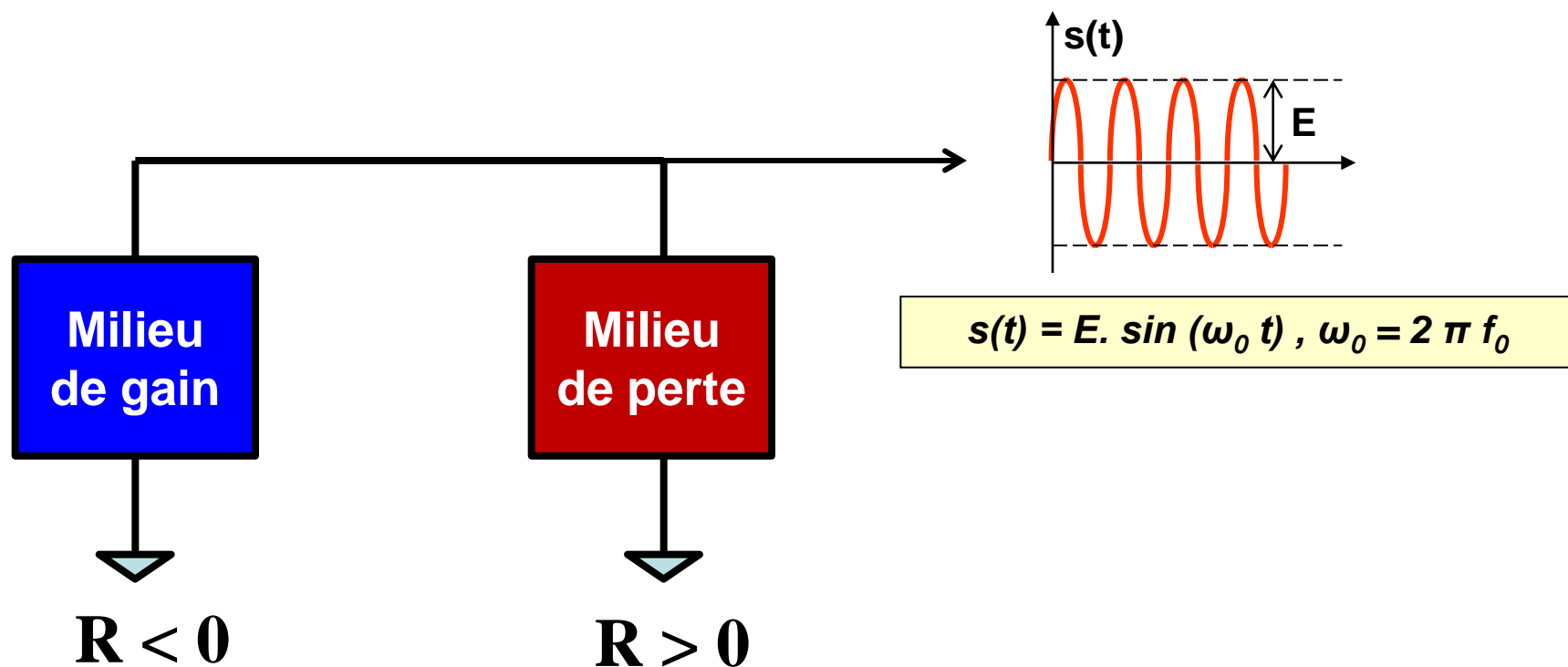
1°) Principe d'un oscillateur à résistance négative

2°) Oscillateur à résistance négative BF

3°) Oscillateur à résistance négative HF

Chapitre IV : Les oscillateurs

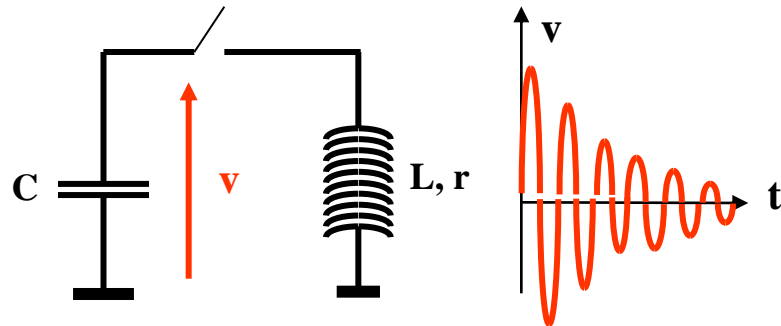
1°) Principe d'un oscillateur à résistance négative



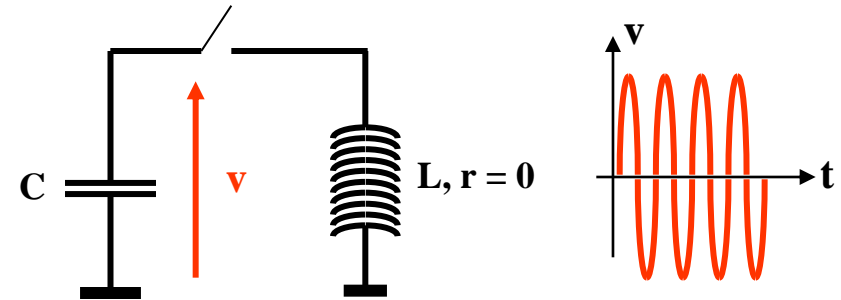
Chapitre IV : Les oscillateurs

2°) Oscillateur à résistance négative BF

► En déchargeant un condensateur dans une bobine L de résistance r faible, la tension à ses bornes est une sinusoïde amortie:

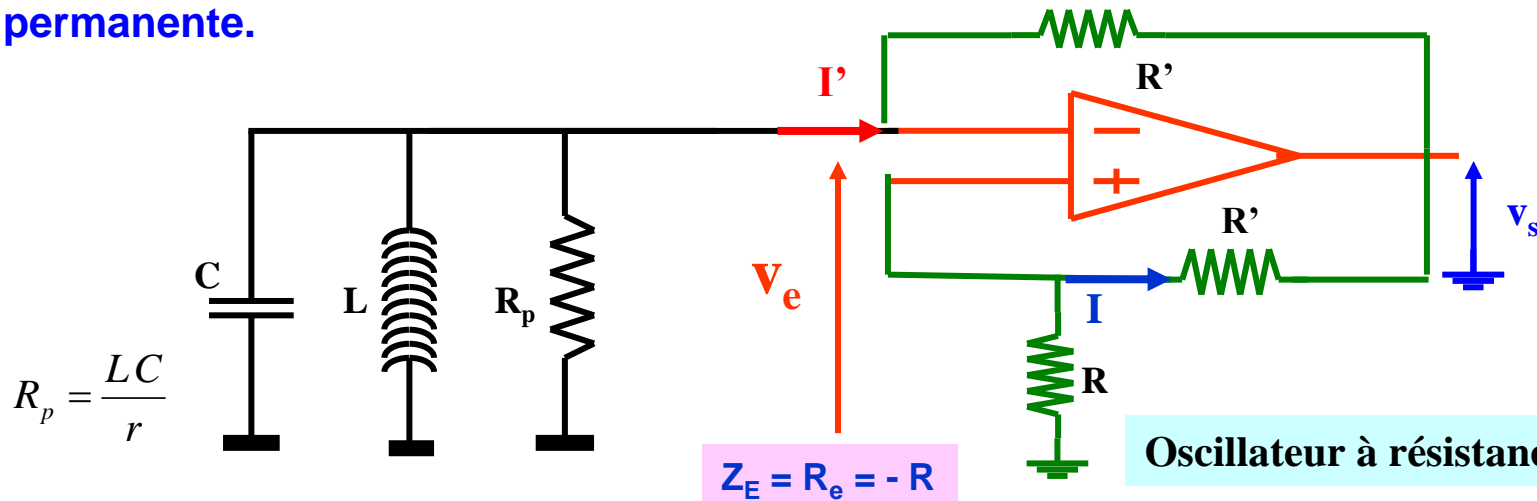


Oscillation amortie



Oscillation entretenue

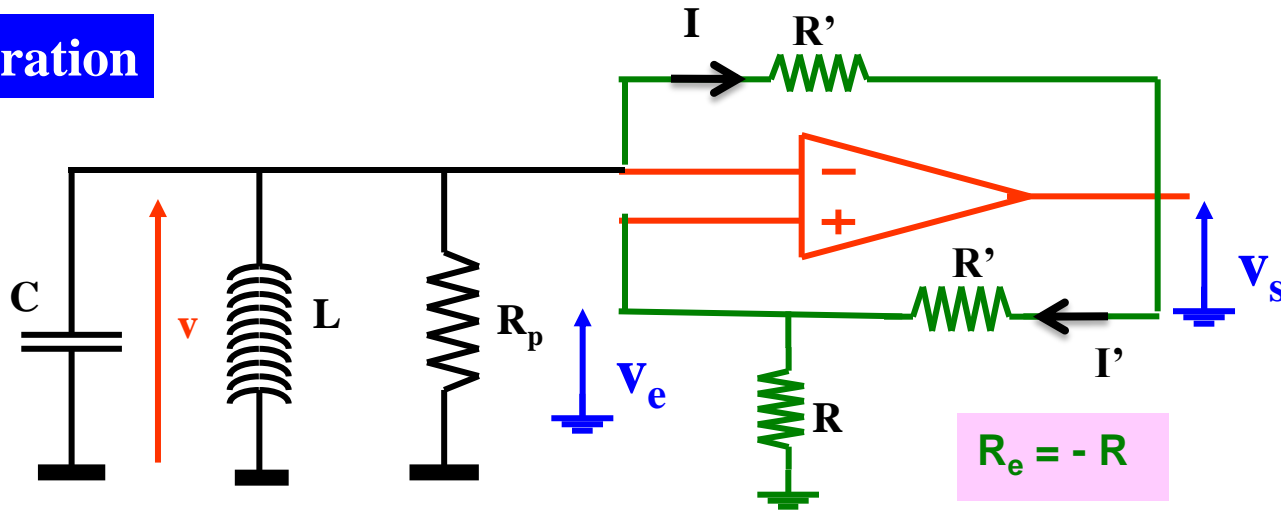
► Si on annule la résistance r de la bobine, l'oscillation est alors entretenue et permanente.



Oscillateur à résistance négative

Chapitre IV : Les oscillateurs

Démonstration



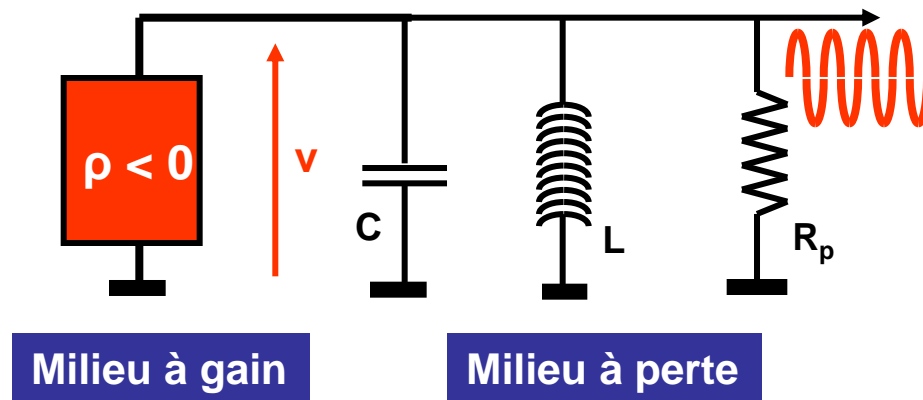
$$v_e = R' I + v_s \quad \text{et} \quad v_e = v_s \frac{R}{R + R'}$$

$$v_e = R' I + \frac{R' + R}{R} v_e \quad \Leftrightarrow \quad v_e \left(1 - \frac{R' + R}{R} \right) = R' I$$

$$R_e = \frac{v_e}{I} = \frac{R'}{1 - \frac{R' + R}{R}} = \frac{R'}{\frac{R - R' - R}{R}} = -R \quad R_E < 0$$

Chapitre IV : Les oscillateurs

3°) Oscillateur à résistance négative HF



p est une diode

L, r, C est un circuit accordé

$$\text{Si } \frac{1}{\rho} + \frac{1}{R_p} = 0 \quad \text{alors} \quad \text{oscillation}$$

Discussion

- Une résistance négative qui compense les pertes du circuit accordé provoque l'oscillation

$$\rho = R_p$$

Oscillation sinusoïdale

- Une résistance négative plus faible entraînerait la saturation de l'amplificateur

$$\rho < R_p$$

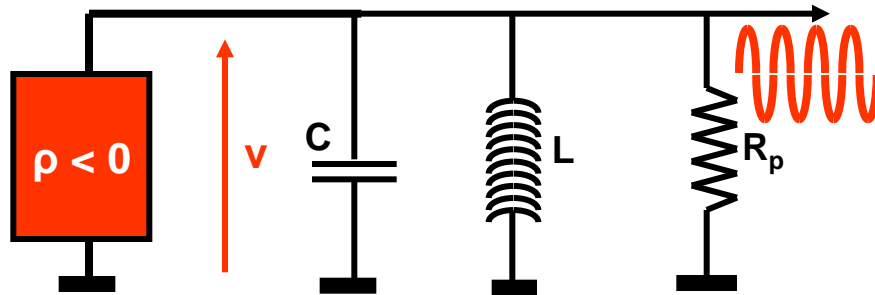
Oscillation sinusoïdale saturée

- une résistance négative plus élevée entraînerait l'arrêt des oscillations.

$$\rho > R_p$$

Oscillation sinusoïdale amortie

Chapitre IV : Les oscillateurs



p est une diode

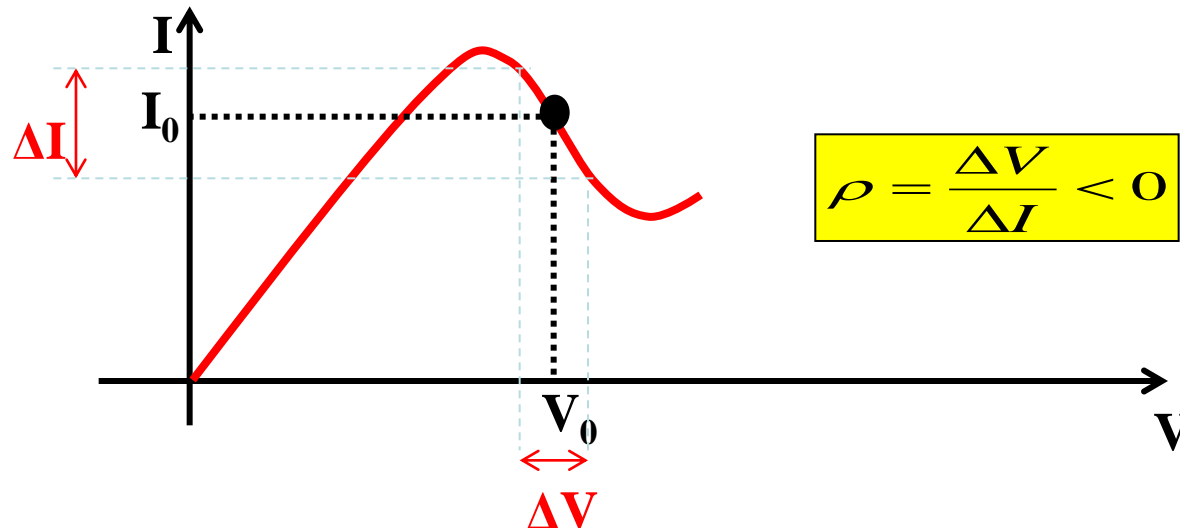
L, r, C est un circuit accordé

Si $\frac{1}{\rho} + \frac{1}{R_p} = 0$ alors oscillation

Milieu de gain

Milieu de perte

La caractéristique $I = f(V)$ d'une diode caractérisée par une zone de résistance négative



$$\rho = \frac{\Delta V}{\Delta I} < 0$$

Chapitre IV : Les oscillateurs

Montage pratique

